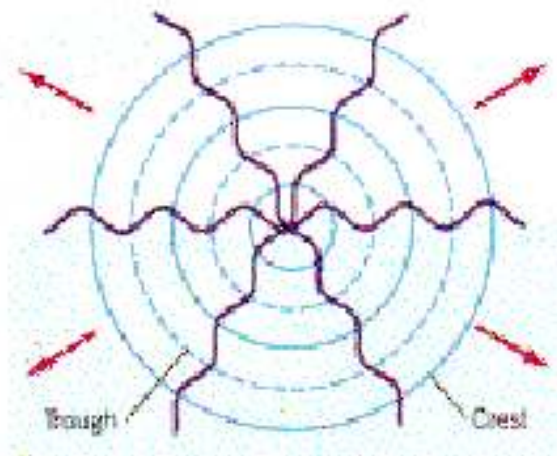


Rivelatori Čerenkov

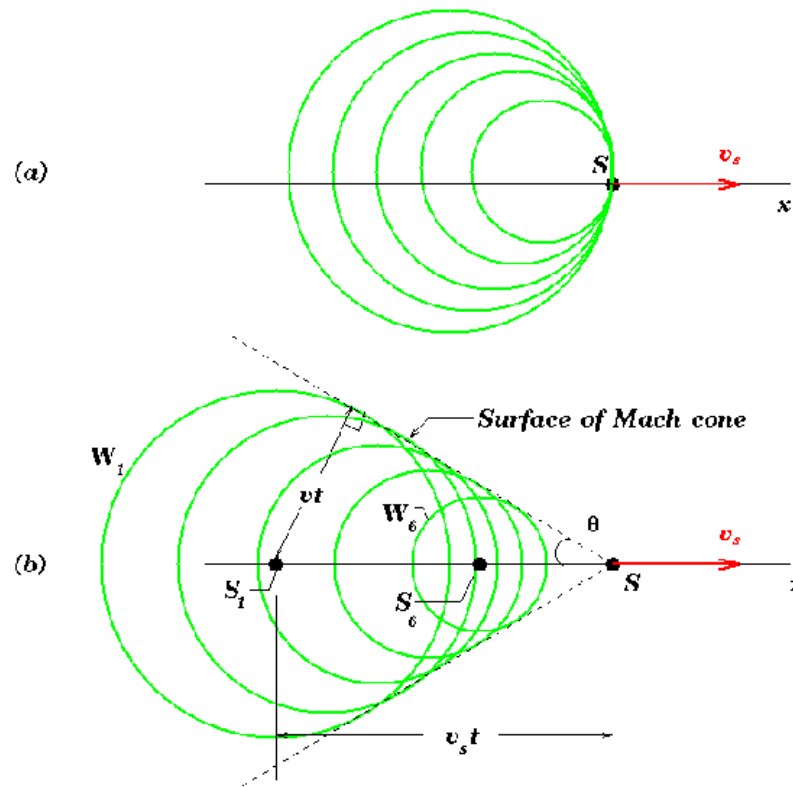


Pavel Alekseyevich Cherenkov
(1904-1990)
Nobel 1958



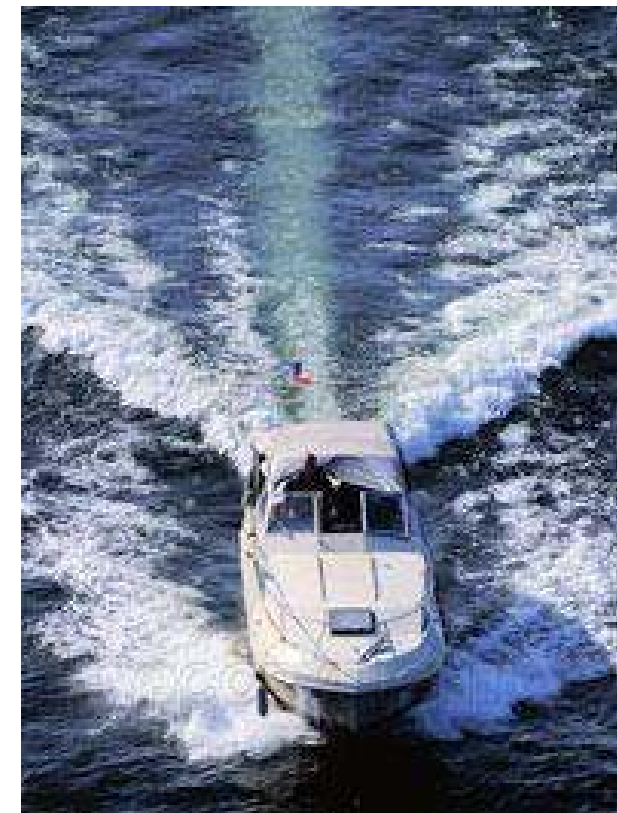
Fronti d'onda per $v < c/n$

Effetto Черенков



Fronti d'onda per $v >= c/n$

Analogie



M. Sozzi

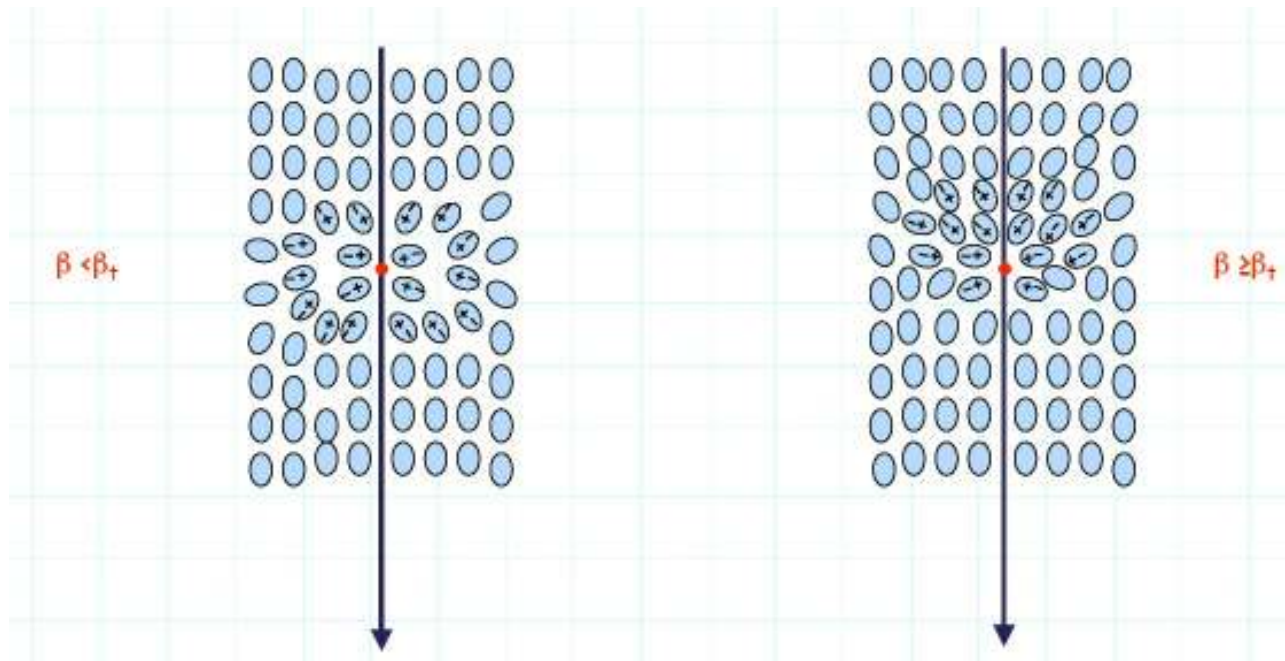


Il'ja Mikhailovich Frank
(1908-1990)
Nobel 1958



Igor Yevgenyevich Tamm
(1895-1971)
Nobel 1958

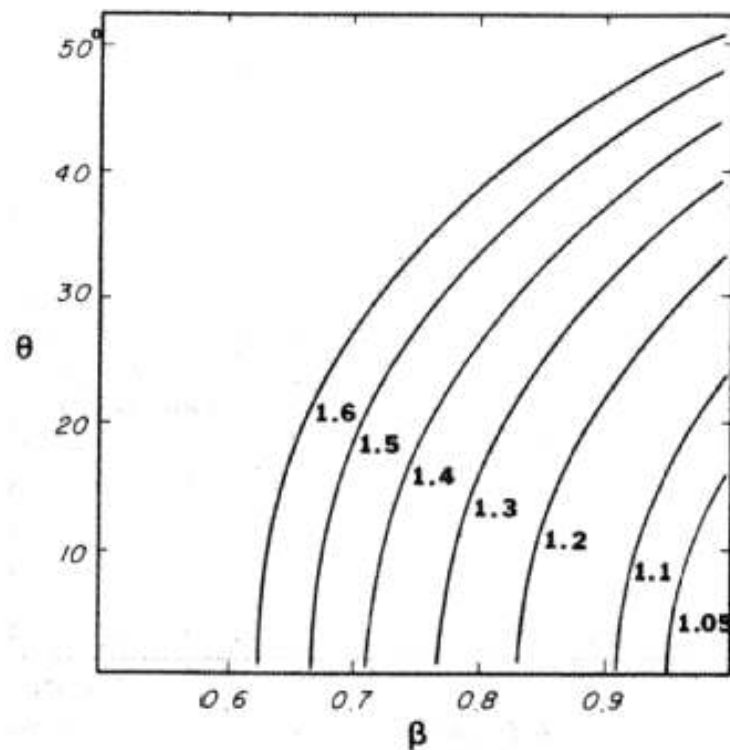
Effetto Čerenkov (3)



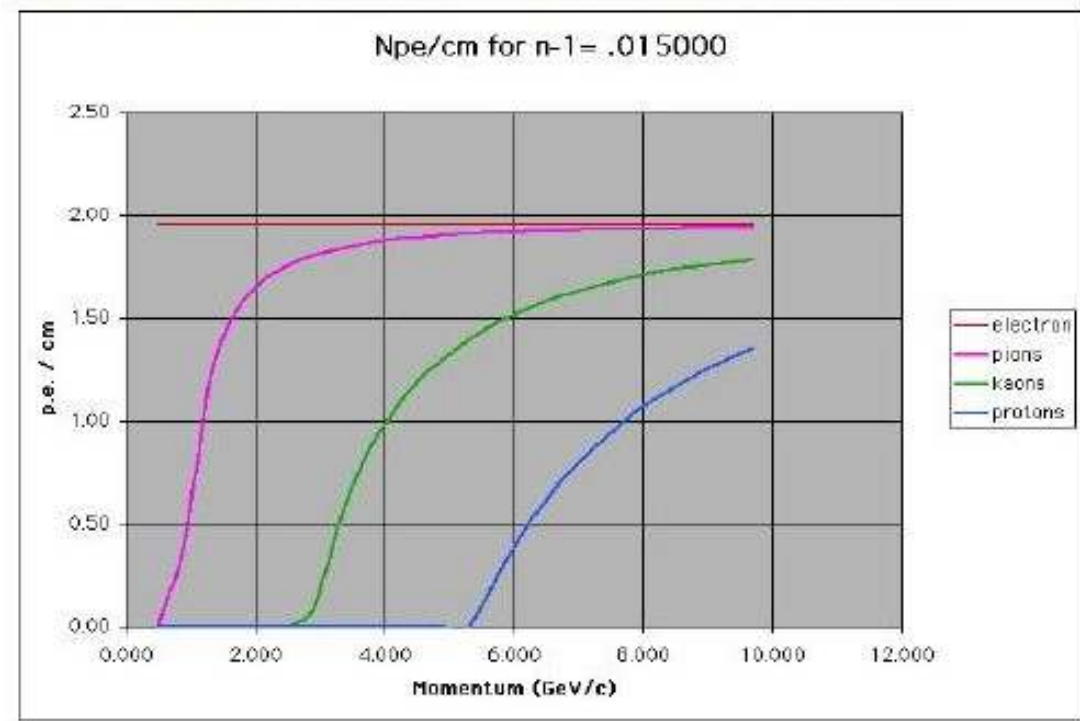
Dipoli orientati
simmetricamente rispetto
alla direzione del moto

Asimmetria rispetto
alla direzione del moto

Effetto Čerenkov (4)

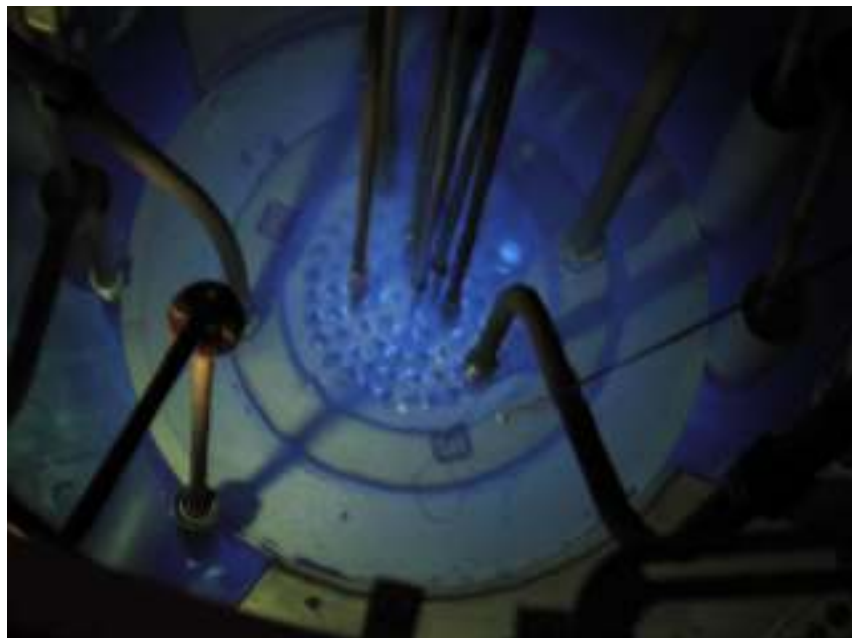


Angolo Cerenkov = $f(\beta)$

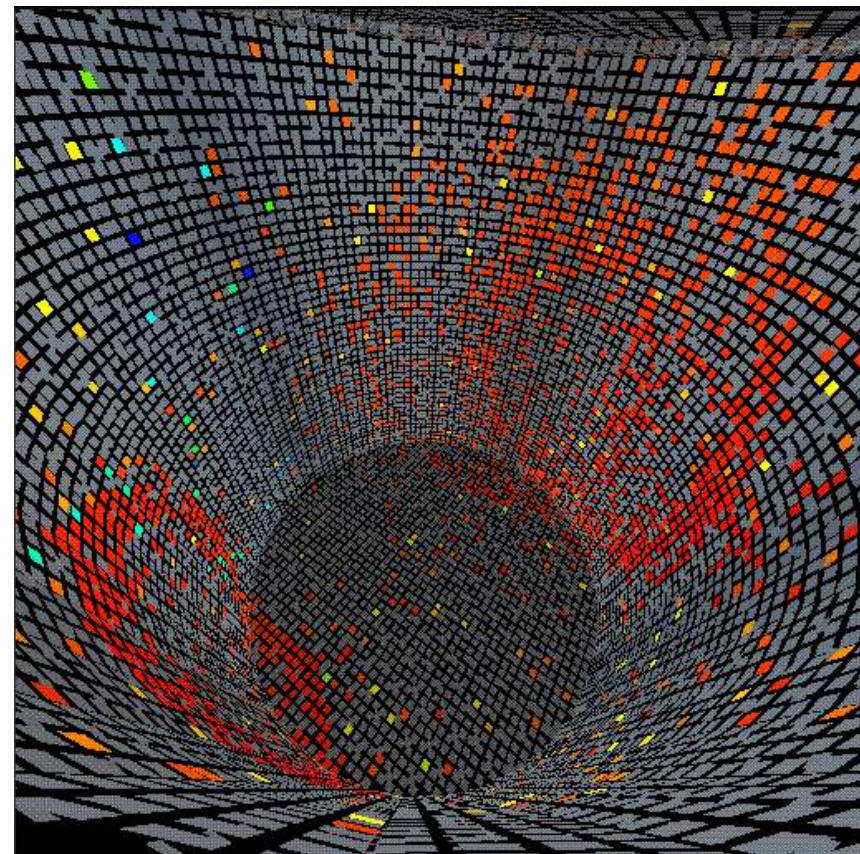


Numero di fotoni = $f(\beta)$

Effetto Čerenkov (5)

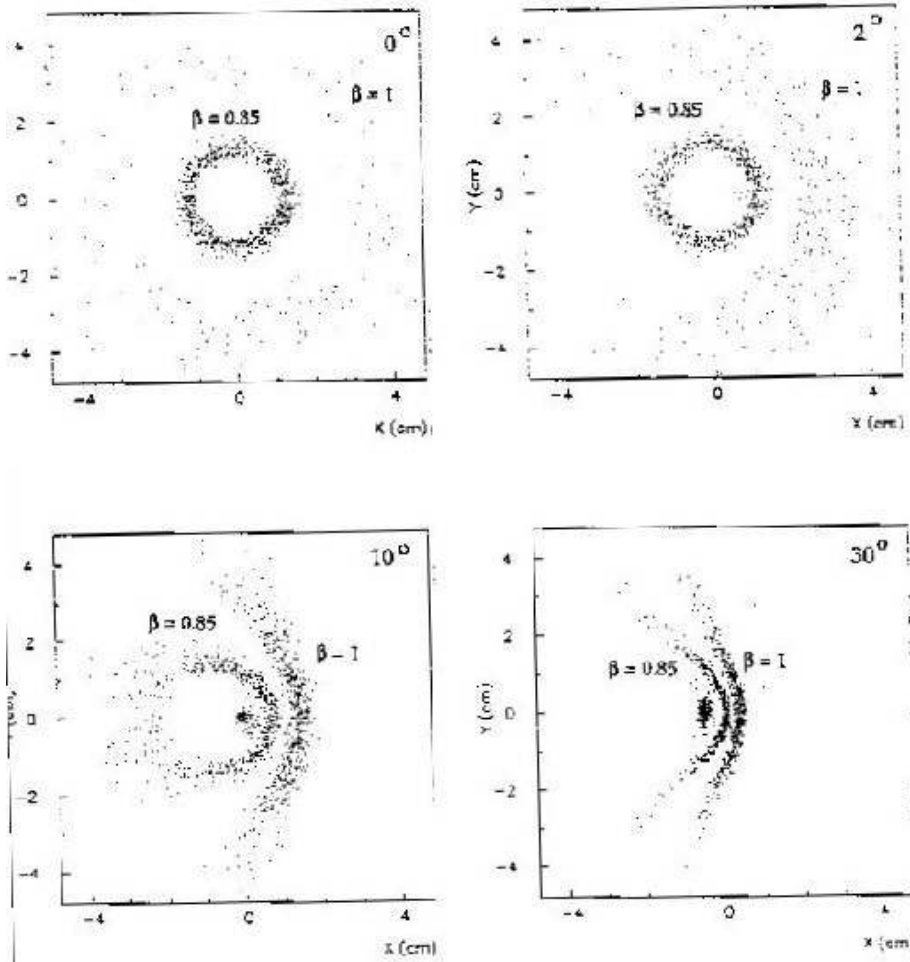


Luce Cerenkov in reattore nucleare

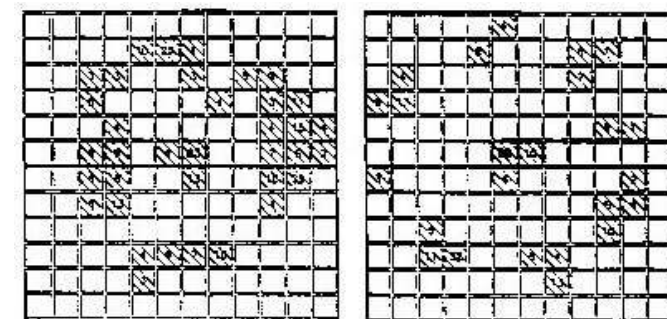
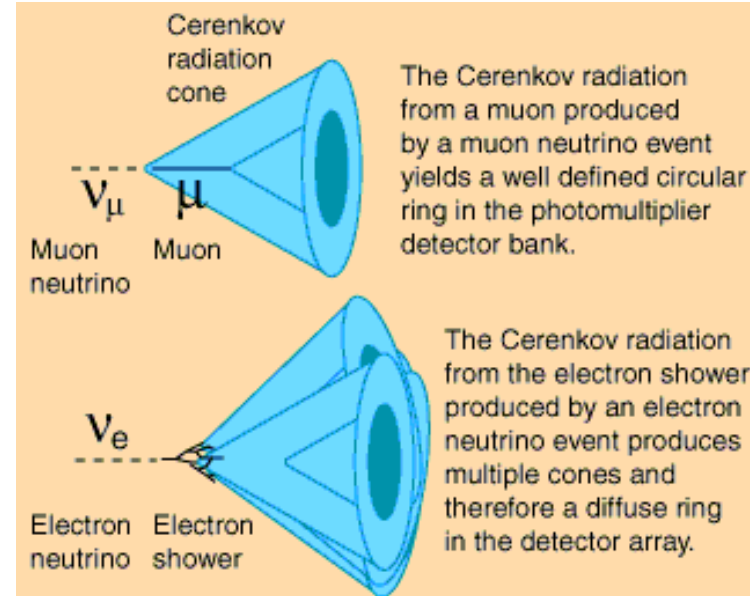


Anelli Cerenkov a SuperKamiokande

Anelli Čerenkov

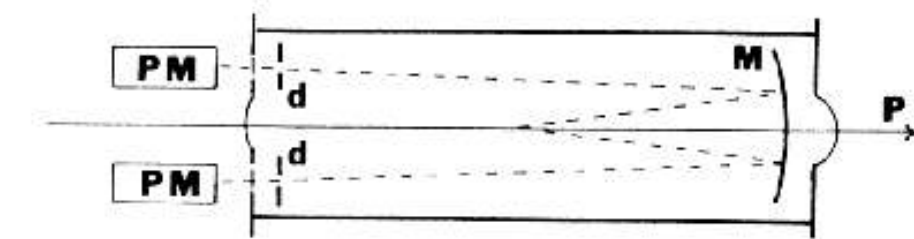
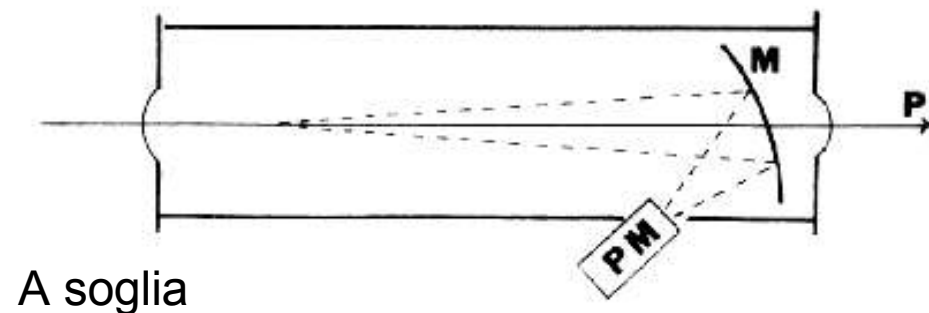


M. Sozzi

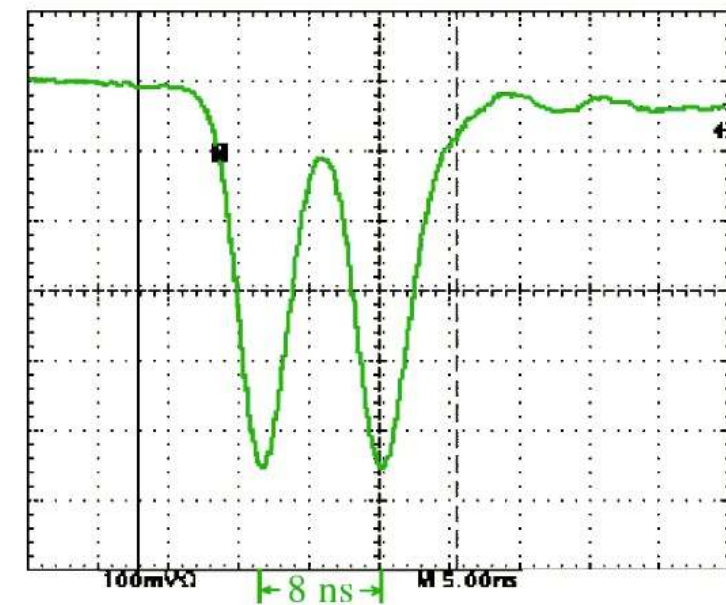


Proton					Pion				
.	.	4	6	3	.	.	.	3	.
.	2	2	.	2	3	4	.	3	4
.	3	.	.	3	2	5	.	4	.
.	3	.	.	.	3	5	3	.	.
.	4	4	.	3	8	.	4	4	2
.	4	4	.	5	.	4	6	.	.
.	4	5	.	.	3	.	.	3	4
.	.	3	4	4	4	.	.	4	.
.	.	2	5	.

Rivelatori Čerenkov (1)

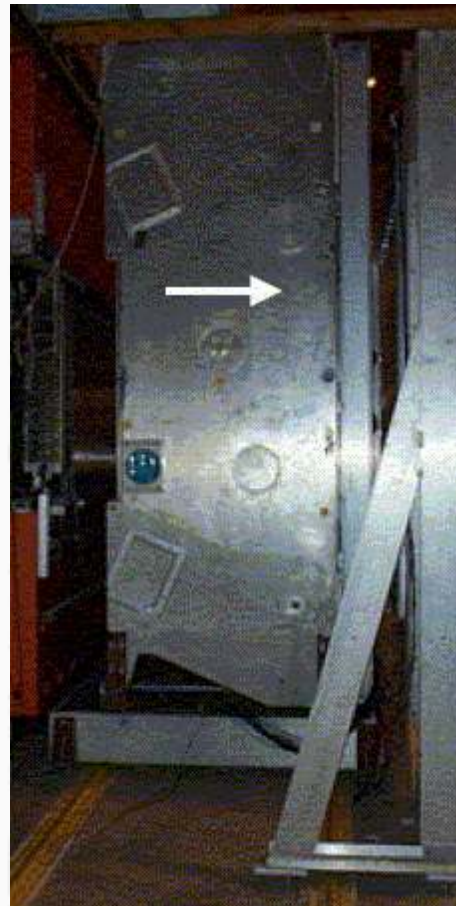
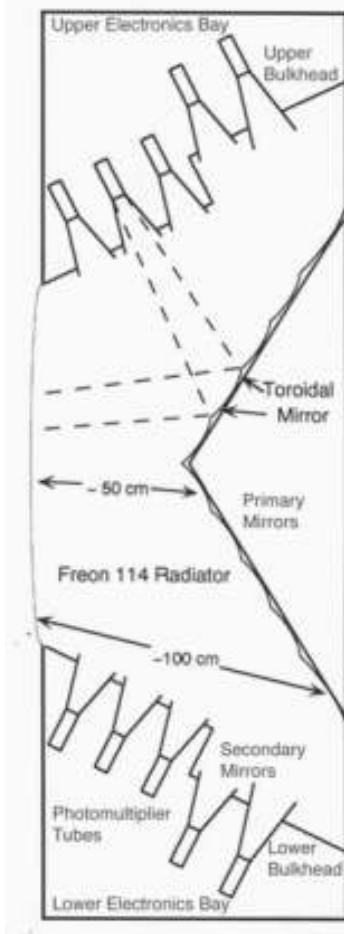


Differenziale



Risoluzione temporale

Rivelatori Čerenkov (2)



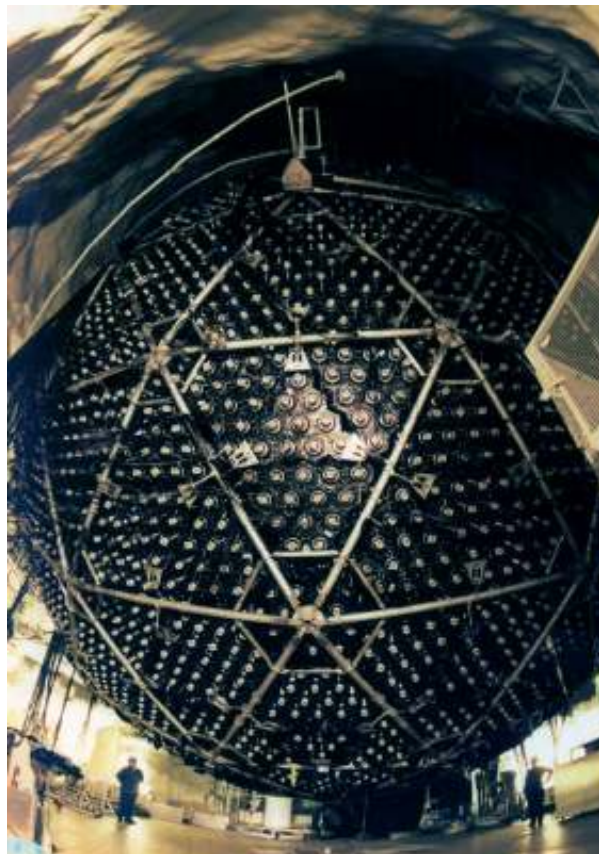
Rivelatore Cerenkov a soglia



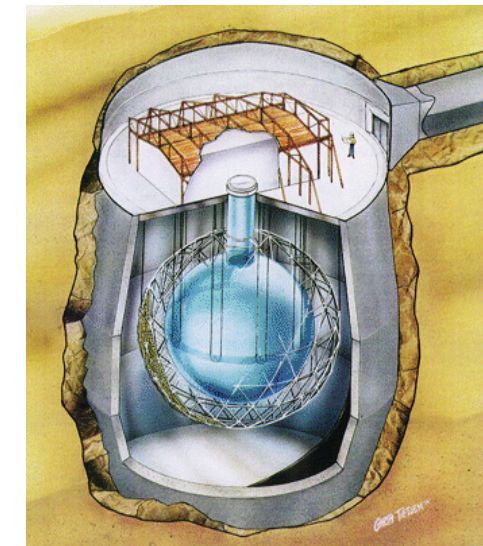
Rivelatori Čerenkov (3)



Esperimento ANTARES



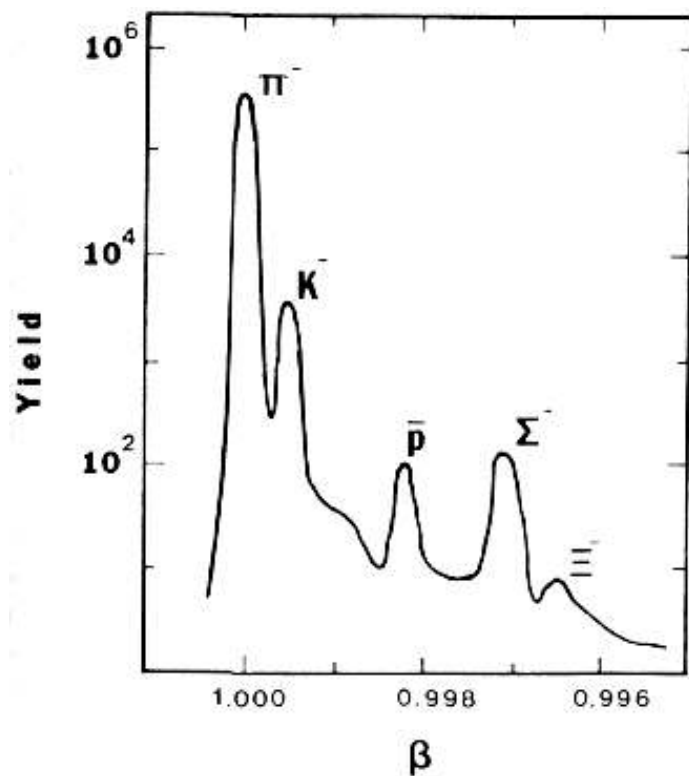
Sudbury Neutrino Observatory



Lab. Fisica Interaz. Fondamentali

Rivelatori Čerenkov (4)

Identificazione di particelle



Scelta del gas

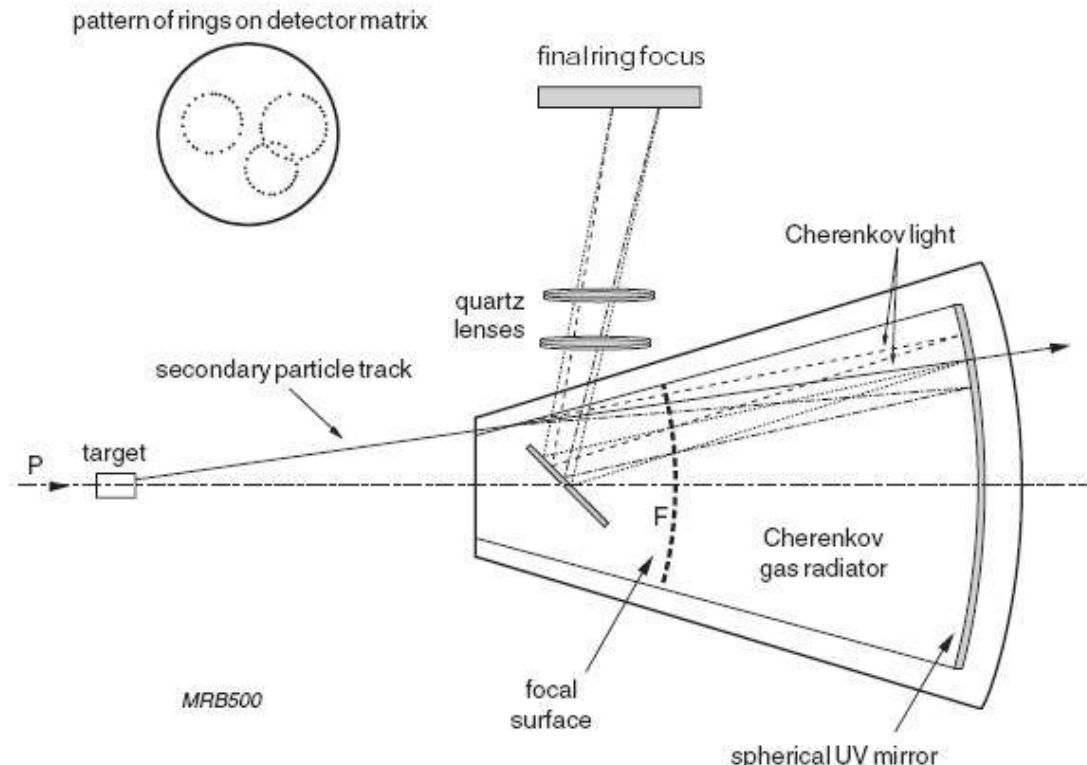
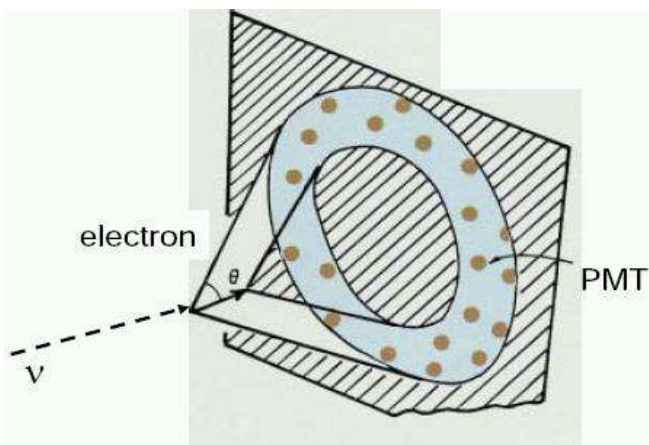
Gas name	Chemical composition	Refr. index
Freon 12	CCl_2F_2 [3]	1.001080
	CCl_2F_2 [4]	1.001127
Freon 13 B1	CCl_2F_2 [5]	1.000864
Freon 13	$CClF_3$ [4]	1.000782
Freon 114	$C_2Cl_2F_4$ [6]	1.0014 [7]
Freon 318	C_4F_8 [4]	1.001285
Perfluorobutane	C_4F_{10} [8, 9]	1.00153
Perfluoropentane	C_5F_{12} [8, 9]	1.00172



RICH (1)

Ring Imaging CHerenkov counter

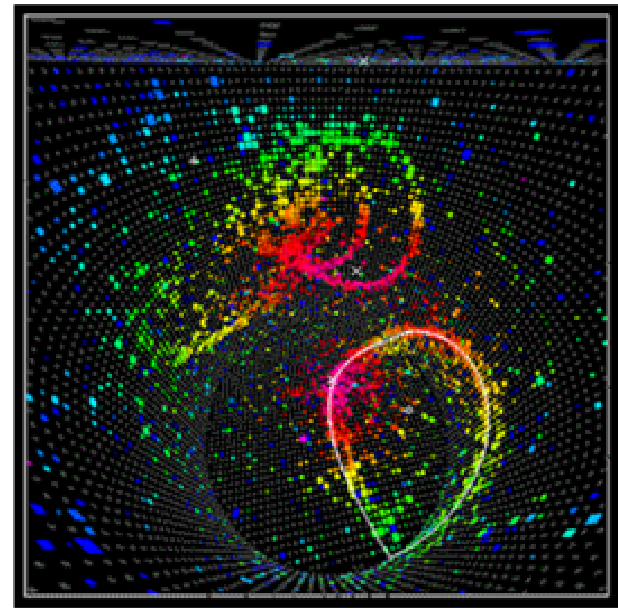
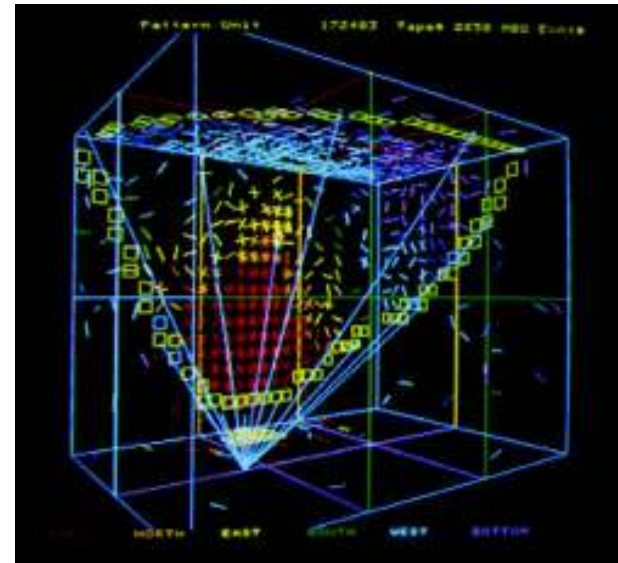
Tom Ypsilantis
(1928-2000)
e J. Seguinot



RICH (2)

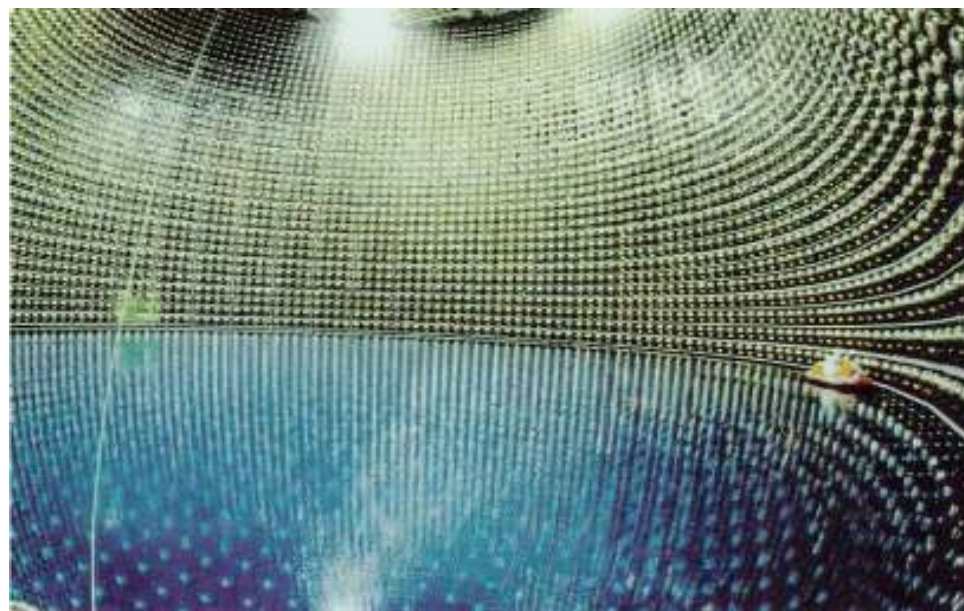
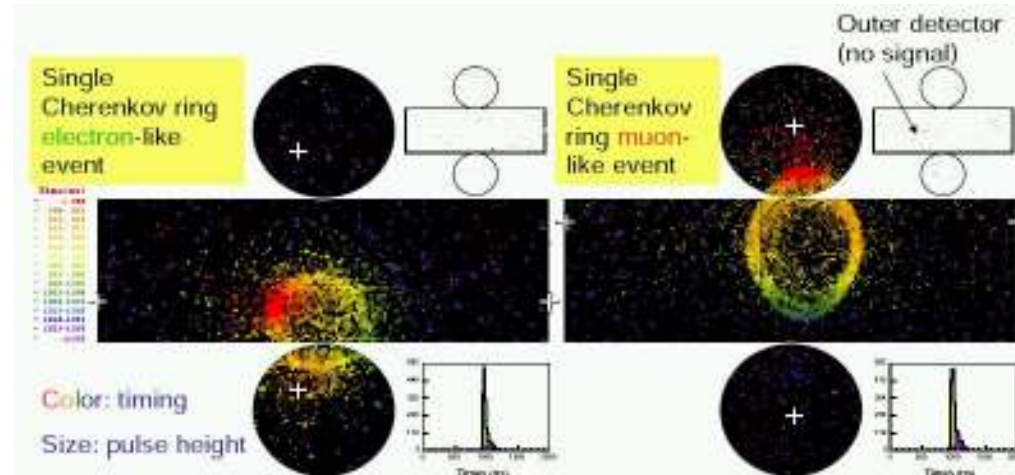


M. Sozzi

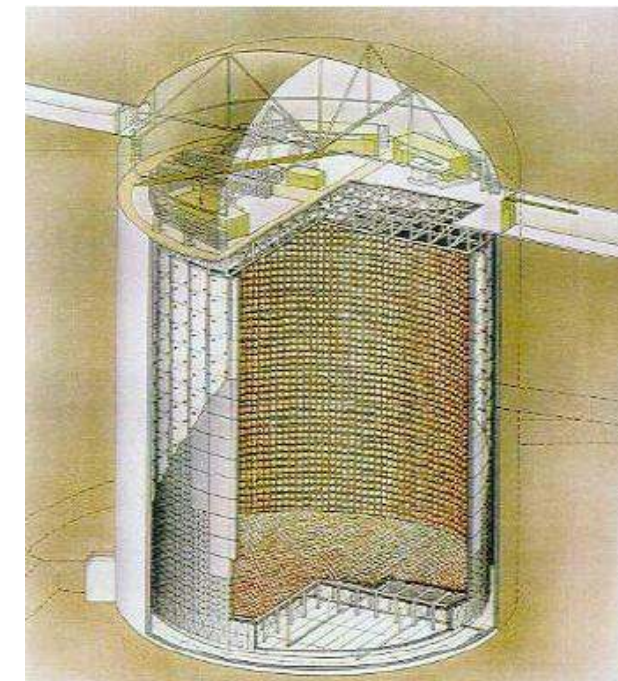


Lab. Fisica Interaz. Fondamentali

RICH: SuperKamiokande



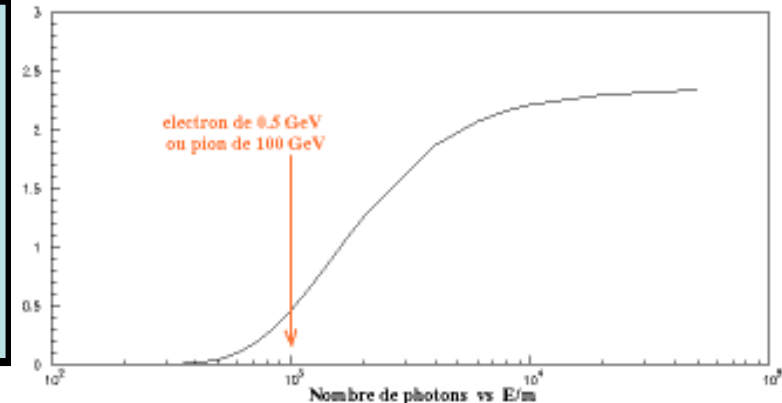
M. Sozzi



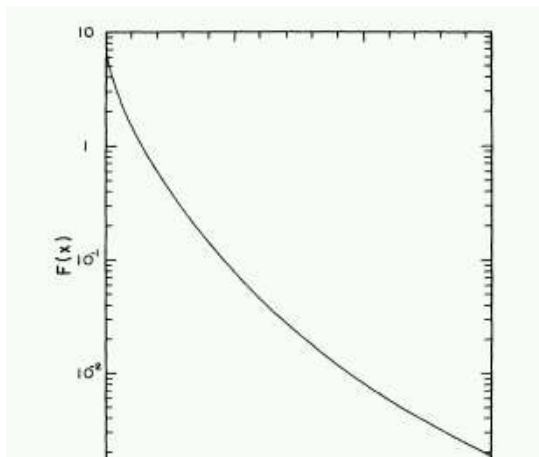
Radiazione di transizione

$$\frac{dE}{d\omega d\theta} = \frac{\alpha}{\pi^2} \theta \left| \frac{1}{1/\gamma^2 + \theta^2 + (\omega_{P1}/\omega)^2} - \frac{1}{1/\gamma^2 + \theta^2 + (\omega_{P2}/\omega)^2} \right|^2$$

$$\omega_{Pi} = \frac{4\pi\alpha n_{ei}}{m_e} \cong (28.8 \text{ eV})^2 \frac{Z\rho}{A}$$

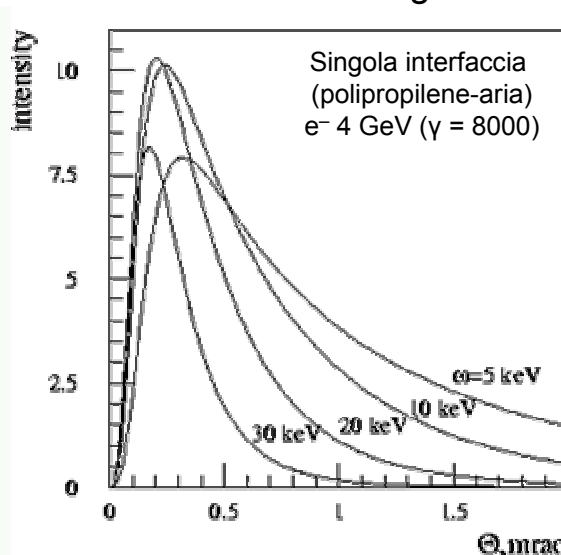


Spettro in frequenza

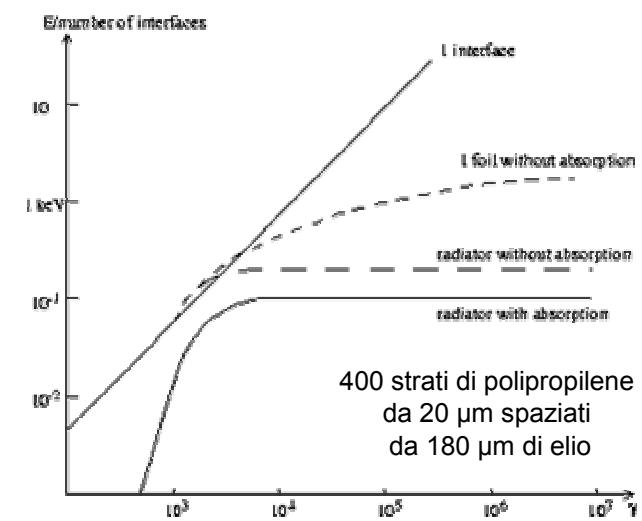


Variation of the spectral distribution function $F(\omega)$, Eq. (35), with the parameter $x = \omega/\gamma\omega_p$. The frequency spectrum of the transition radiation from a thick slab is given by $dS/d\omega = (2e^2/\pi c)F(\omega)$.

Distribuzione angolare



Energia



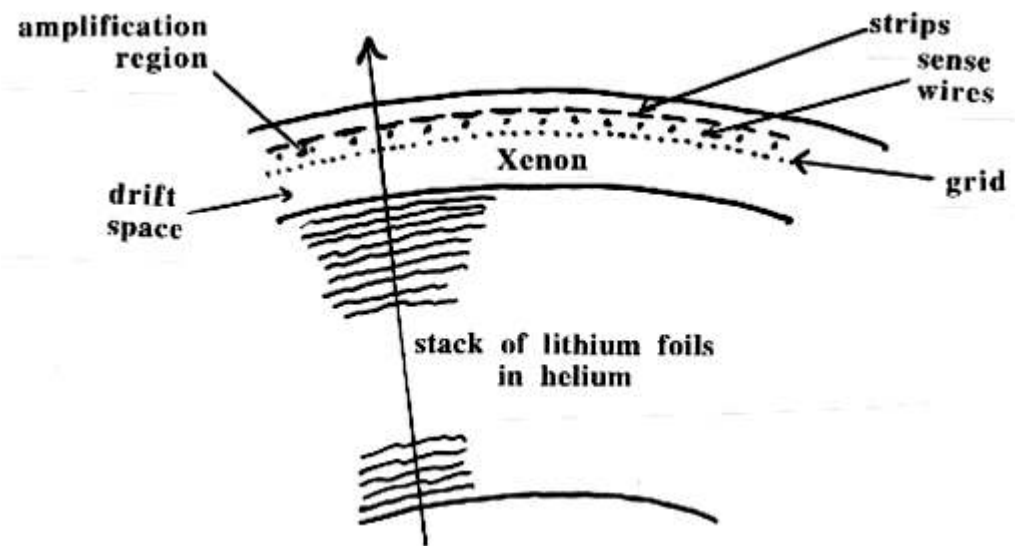
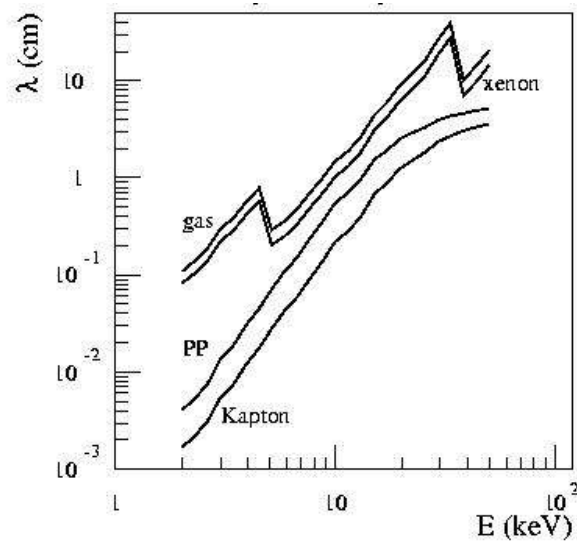
TRD

Transition Radiation Detector

$$\frac{dE}{d\omega} = \frac{\alpha}{\pi} \left(\frac{\omega_{P1}^2 + \omega_{P2}^2 + 2\omega^2 / \gamma^2}{\omega_{P1}^2 - \omega_{P2}^2} \log \frac{\omega^2 / \gamma^2 + \omega_{P1}^2}{\omega^2 / \gamma^2 + \omega_{P2}^2} - 2 \right)$$

$$E = \frac{2\alpha\gamma\omega_{P1}}{3} \quad (\omega_{P2} \ll \omega_{P1})$$

Intrifacce multiple
Rivelatore a gas pesante
(Xe) per rivelare fotoni X



TRD

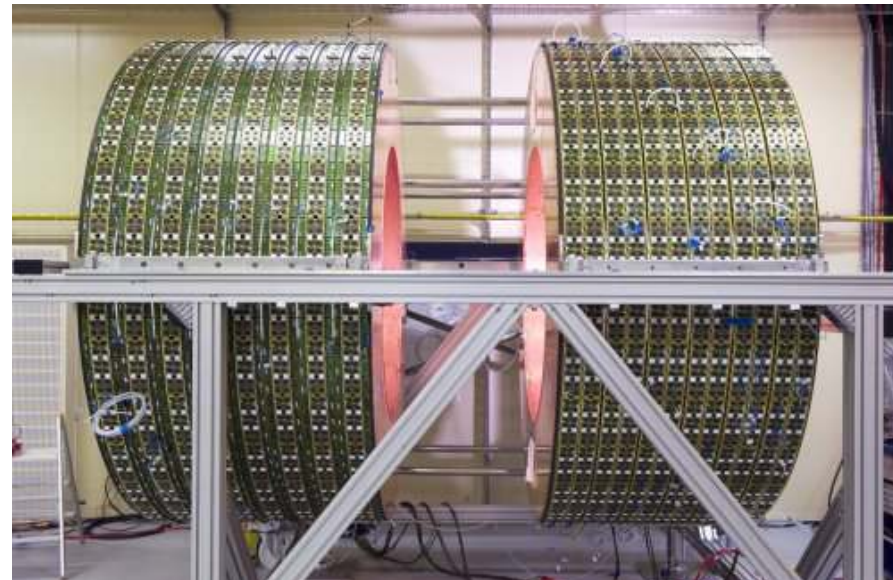
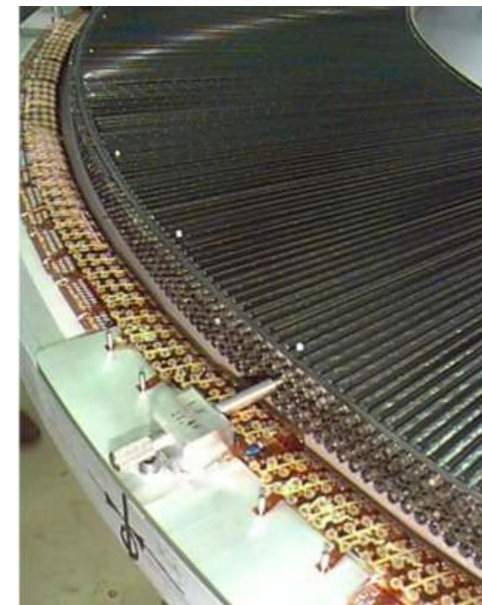
Prototipo TRD
esperimento ALICE



M. Sozzi

ATLAS Transition
Radiation Tracker

420000 straws
polipropilene-CO₂
Fotoni da 10 keV
Risoluzione 130 μm





Rivelatori a gas



Moto nei gas

Moto coerente

$$\vec{v}_d = \mu \vec{E}$$

Moto termico

$$\frac{dn}{dv} = 4\pi \left(\frac{m}{2\pi kT} \right)^{3/2} e^{-mv^2/2kT} v^2$$

$$\langle E \rangle_{STP} = \frac{3}{2} kT \approx 0.04 \text{ eV}$$

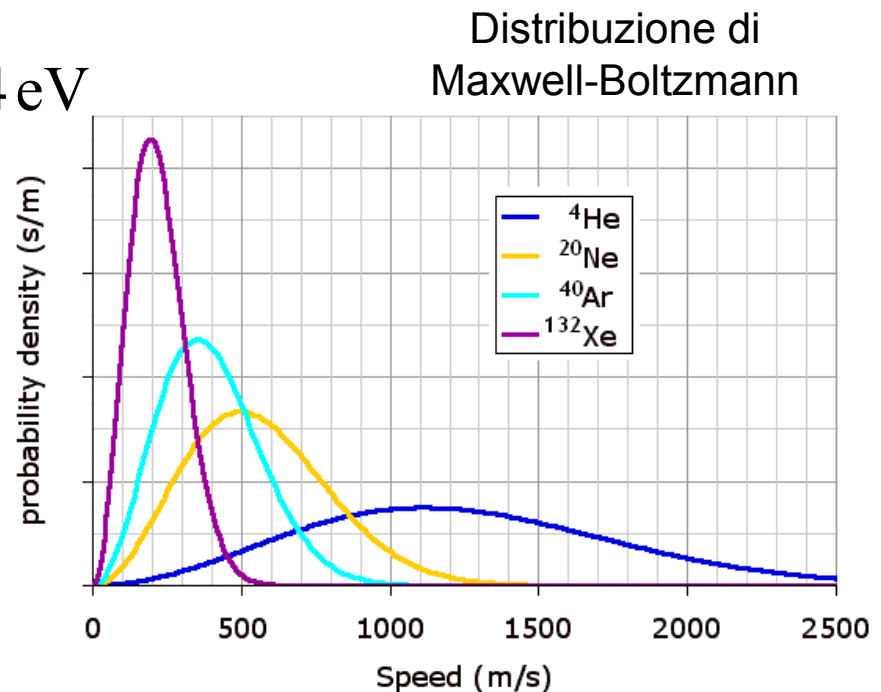


James Clerk
Maxwell
(1831-1879)



Ludwig Eduard
Boltzmann
(1844-1906)

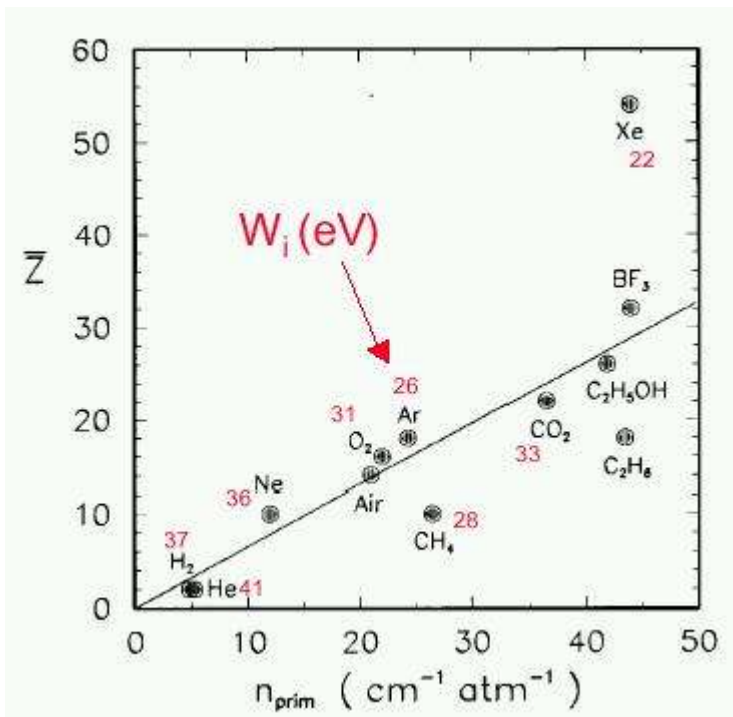
M. Sozzi



Lab. Fisica Interaz. Fondamentali

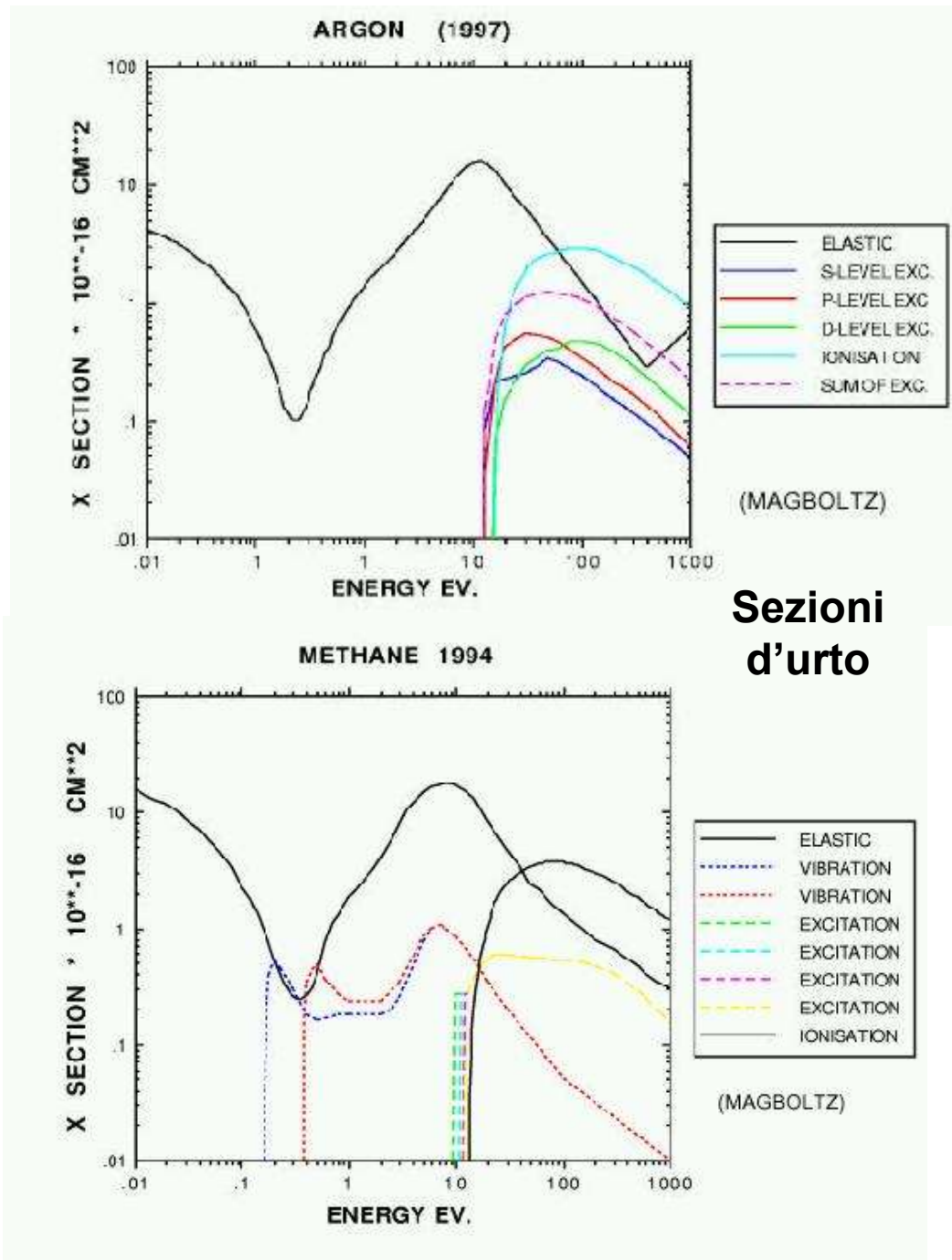
Ionizzazione nei gas

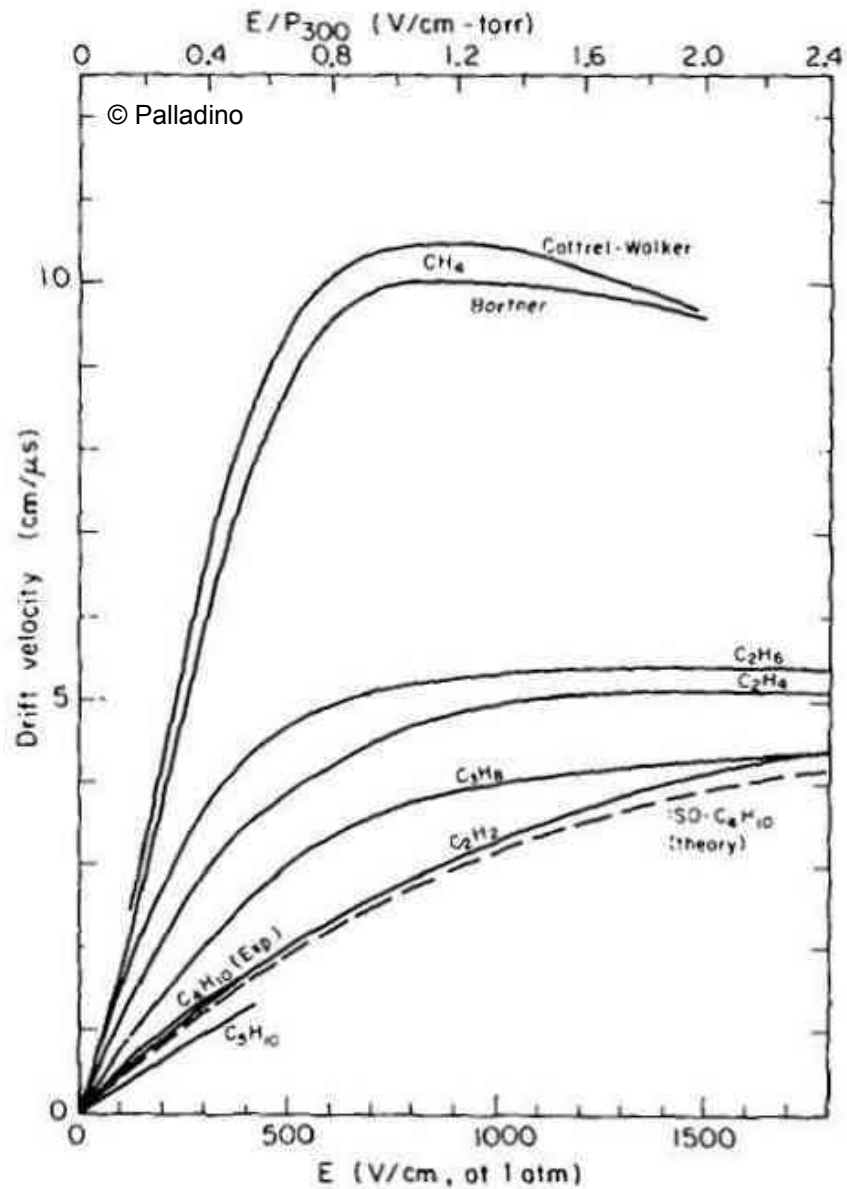
Gas nobili



Ionizzazione primaria

M. Sozzi





Deriva

Trasporto e diffusione

$$\frac{\partial \rho}{\partial t} = D \nabla^2 \rho$$

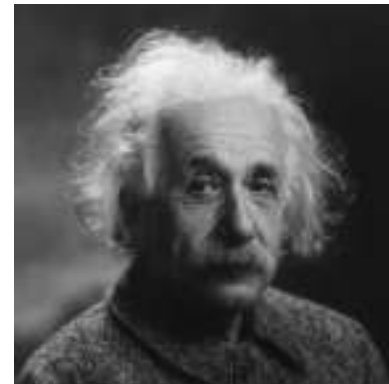
Seconda legge di Fick



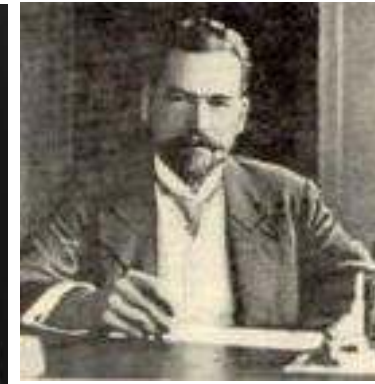
Adolf Fick
(1829-1901)

$$\mu = \frac{qD}{kT}$$

Relazione di Einstein-Smoluchowski



Albert Einstein
(1879-1955)
Nobel 1921



Marian Ritter
von Smolan
Smoluchowski
(1872-1917)

Diffusione

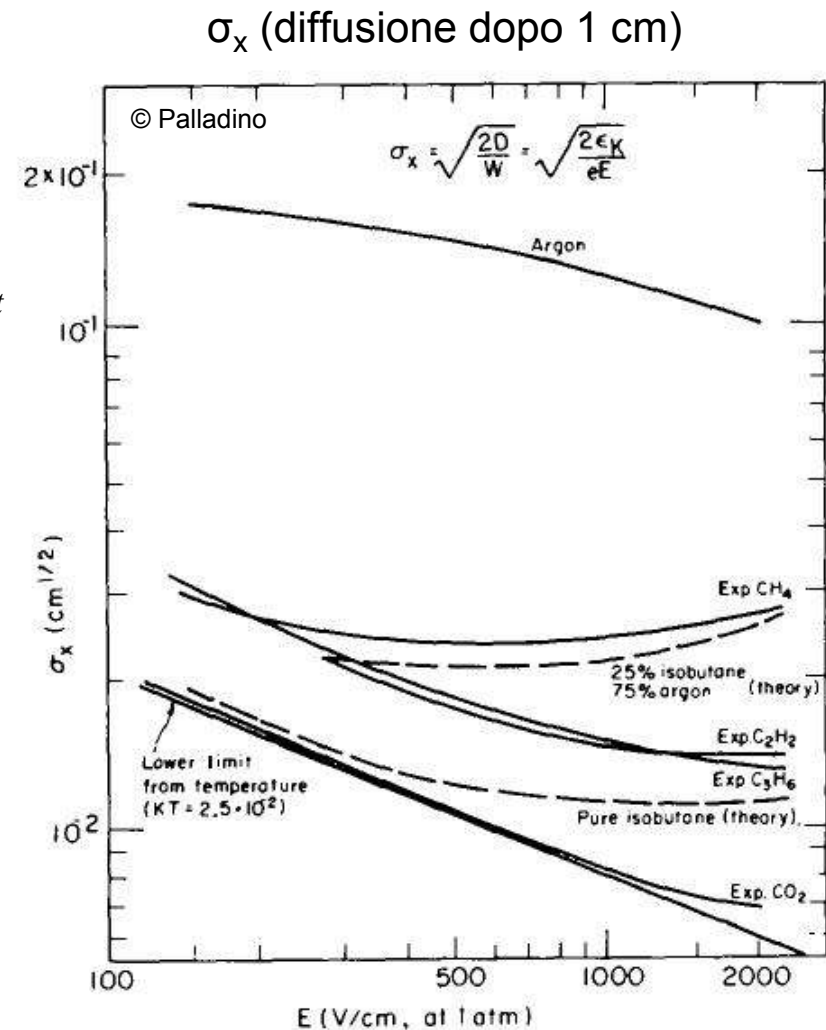
$$\rho(\mathbf{x}, 0) = \rho_0(\mathbf{x})$$

$$\rho(\mathbf{x}, t) = \frac{1}{(2\sqrt{\pi D t})^3} \int d\mathbf{x}' \rho_0(\mathbf{x}') e^{-(\mathbf{x}-\mathbf{x}')^2/4Dt}$$

$$\sigma_x = \sqrt{2Dt} = \sqrt{\frac{2Dx}{v_d}}$$

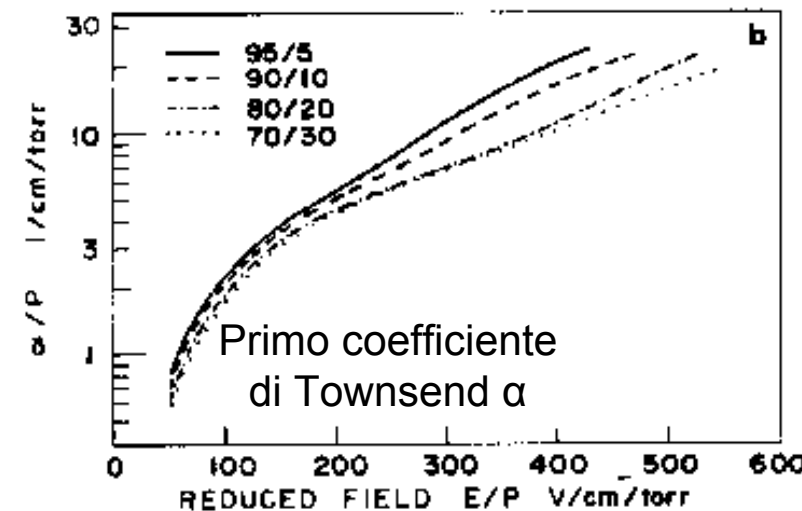
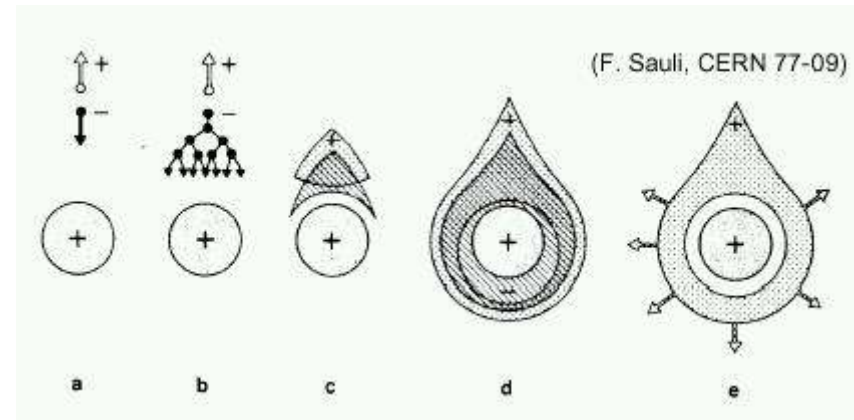
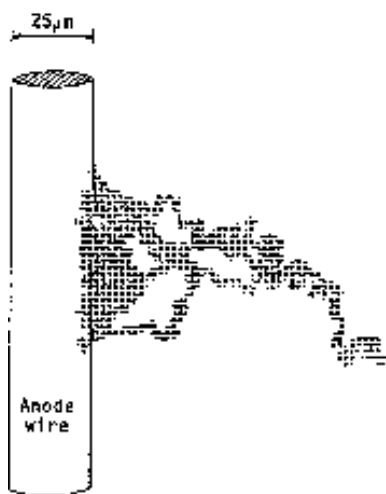
$$D = \frac{1}{3} \langle \lambda v \rangle$$

Coefficiente di diffusione

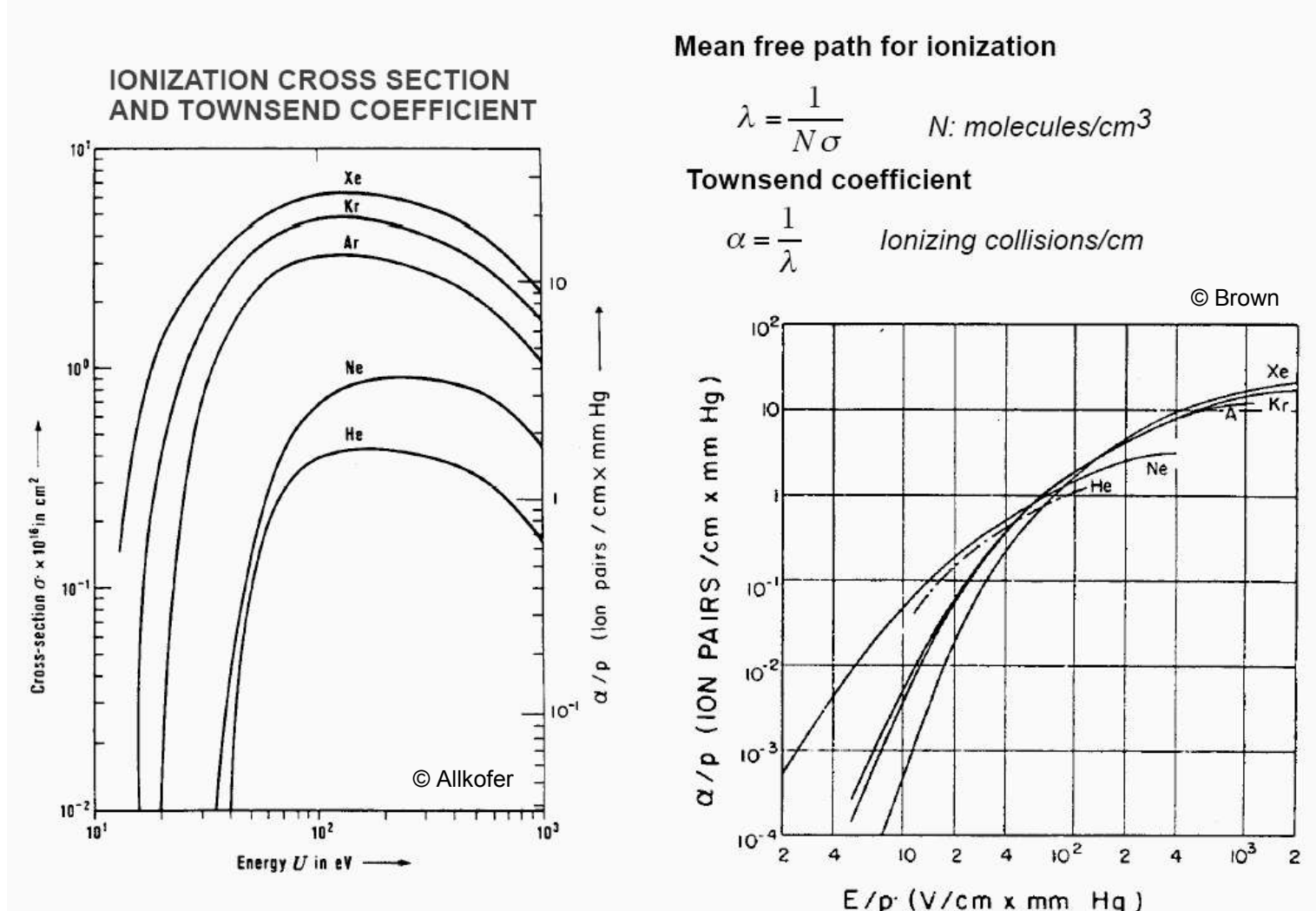


Moltiplicazione (1)

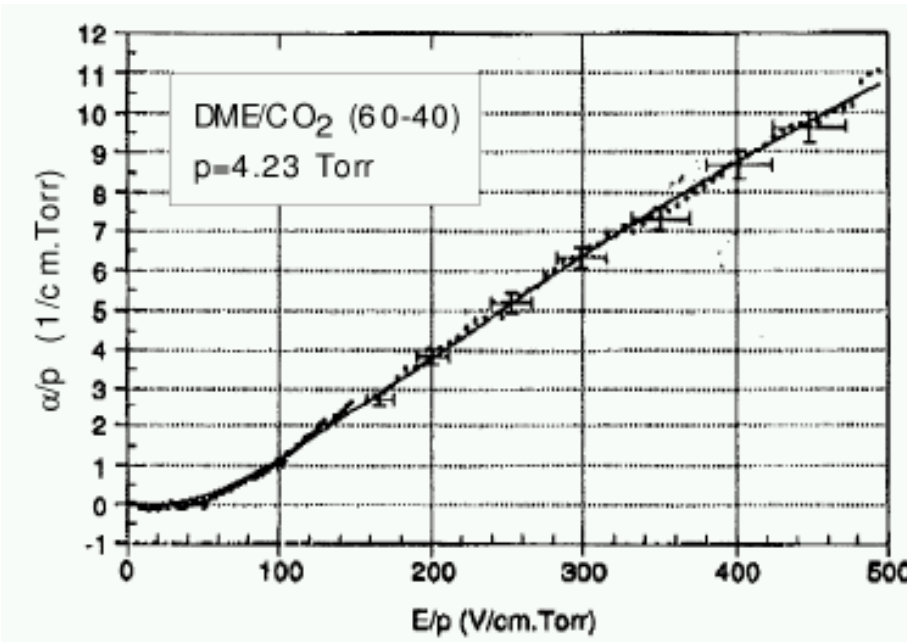
Formazione
valanga
in < 1 ns



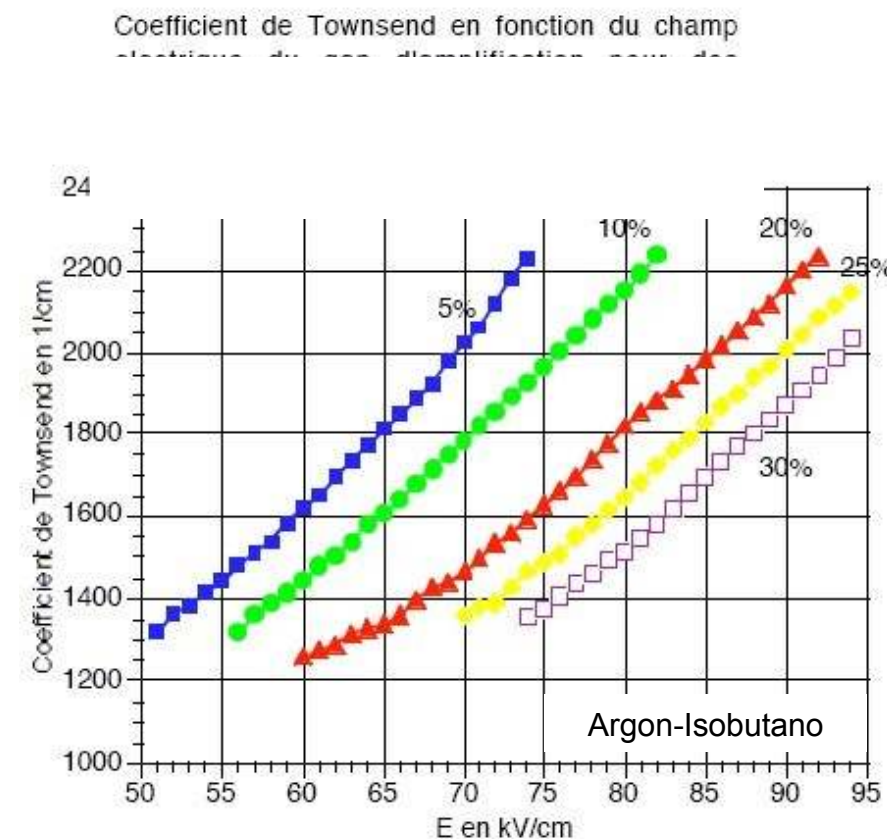
Moltiplicazione (2)



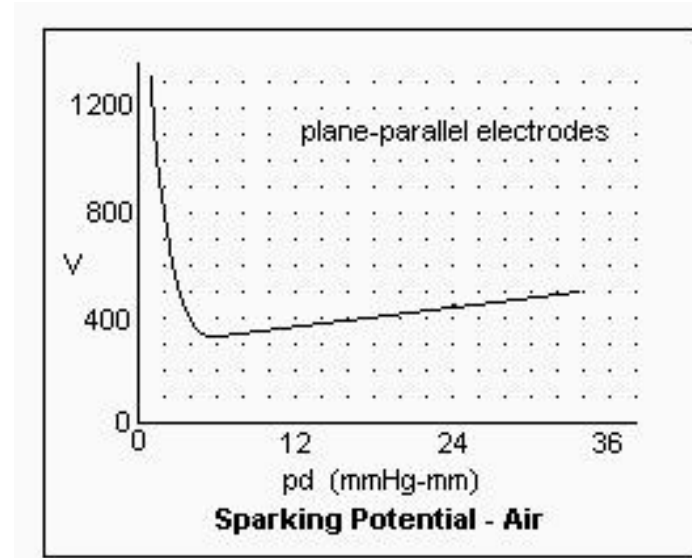
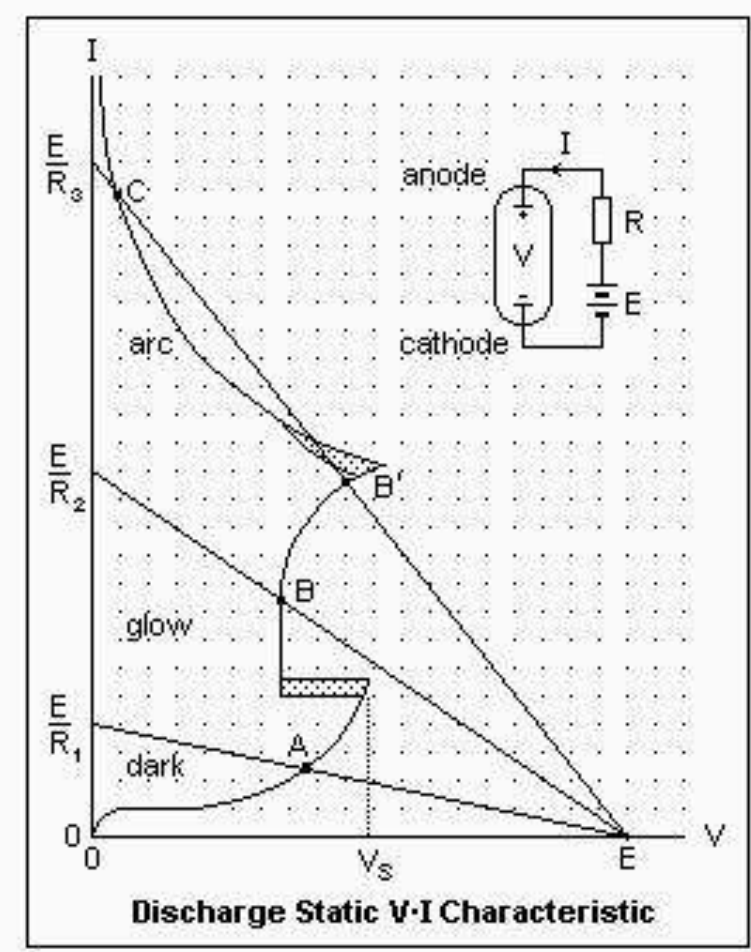
Moltiplicazione (3)



$$\frac{\alpha}{p} = Ae^{-Bp/|E|}$$



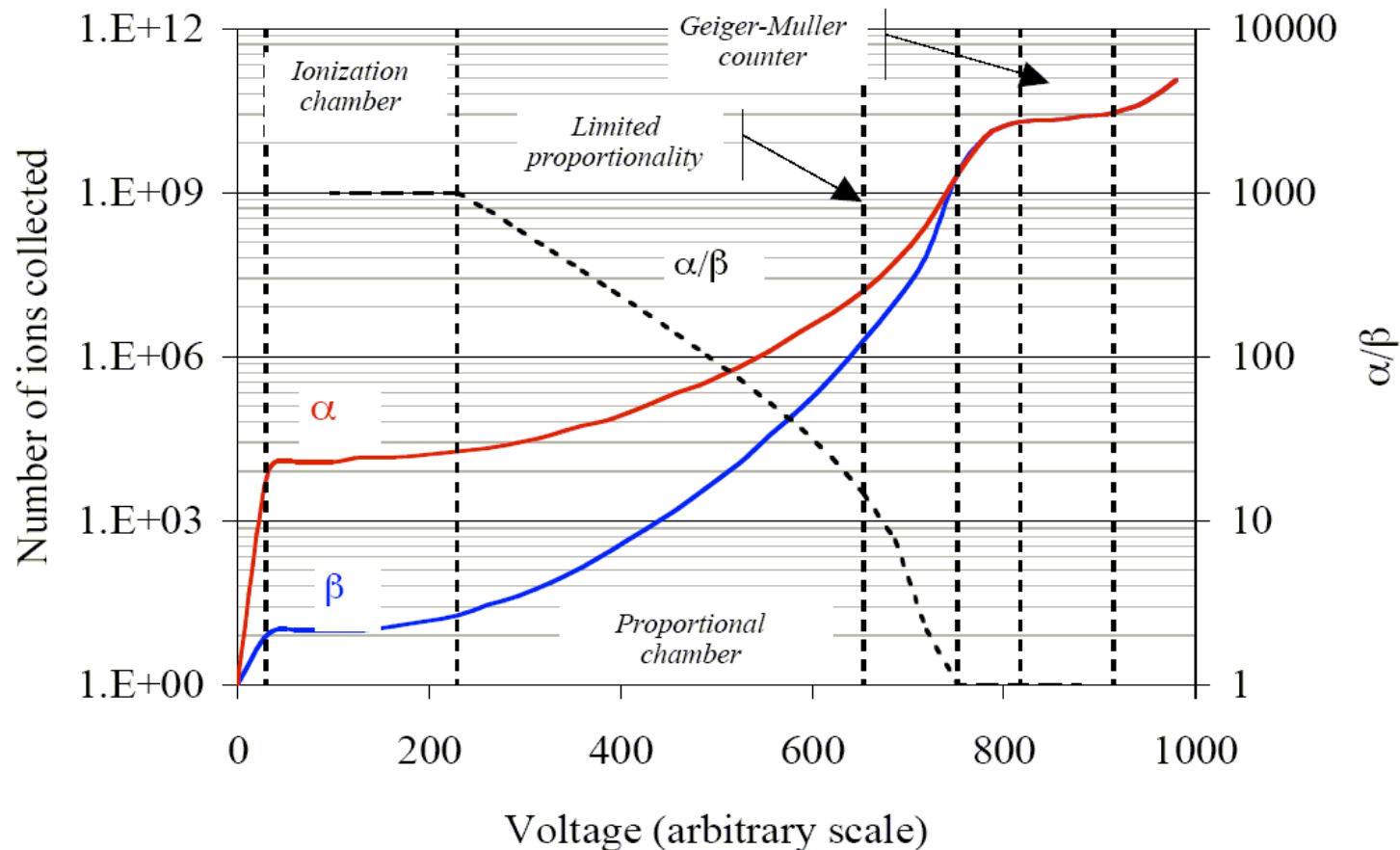
Scarica elettrica



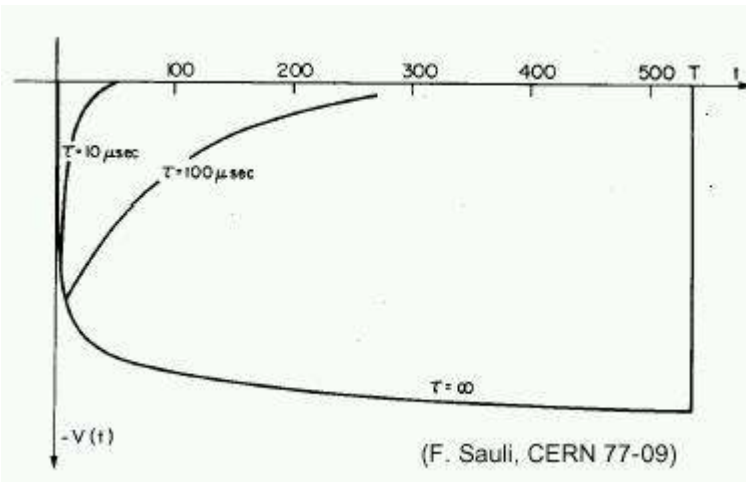
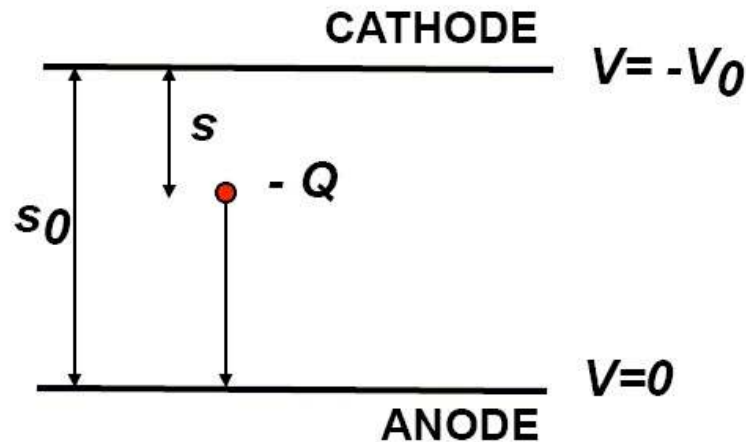
Gas	V_s min (V)	pd at V_s min (torr cm)
Air	327	0.567
Ar	137	0.9
H ₂	273	1.15
He	156	4.0
CO ₂	420	0.51
N ₂	251	0.67
N ₂ O	418	0.5
O ₂	450	0.7
SO ₂	457	0.33
H ₂ S	414	0.6

(C) Naidu

Regimi



Camera a ionizzazione



Necessaria "formatura" del segnale

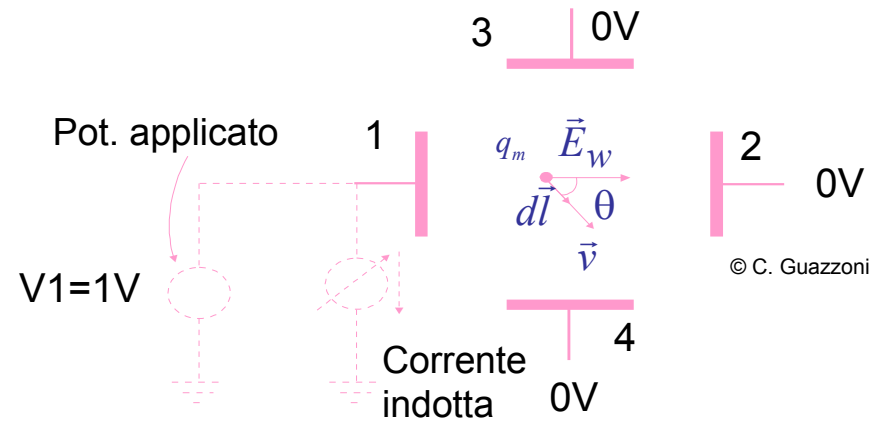
Segnale indotto (1)



William Shockley
(1910-1989)
Nobel 1956



Simon Ramo
(1913-)



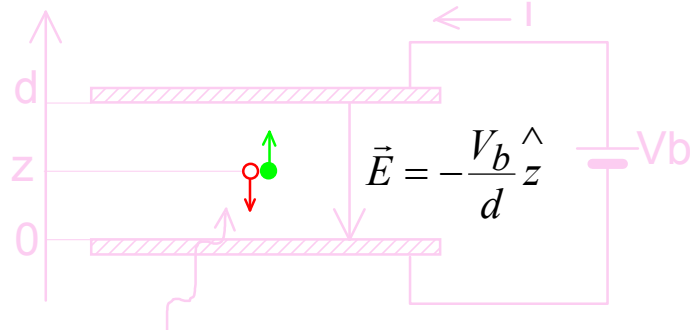
$$q_m V_m = Q_1 V_1 \xrightarrow{V_1=1V} Q_1 = q_m V_m$$

$$i_1(t) = -q_m \vec{E}_w \cdot \vec{v}$$

Segnale indotto (2)

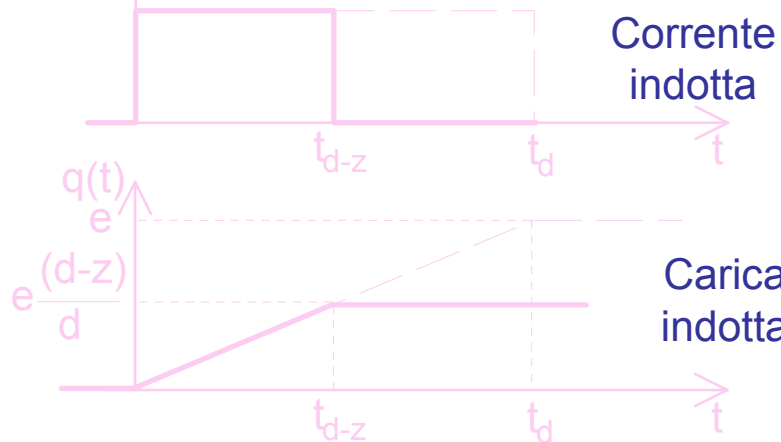
© C. Guazzoni

Singola ionizzazione



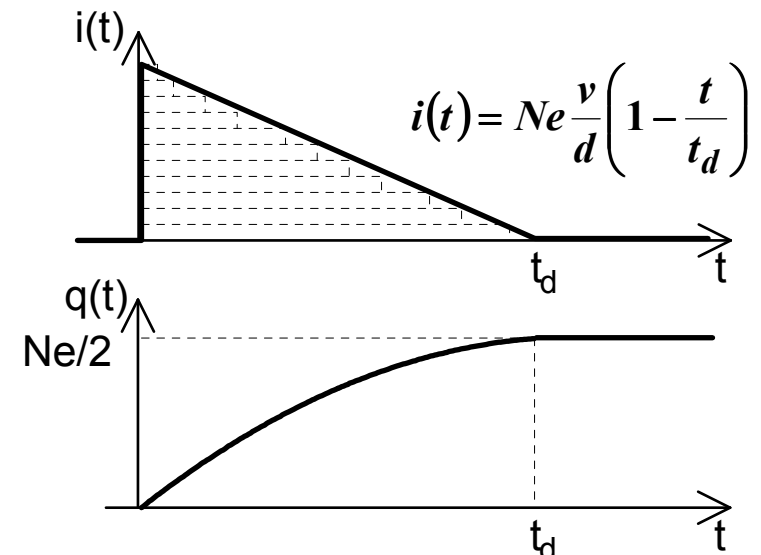
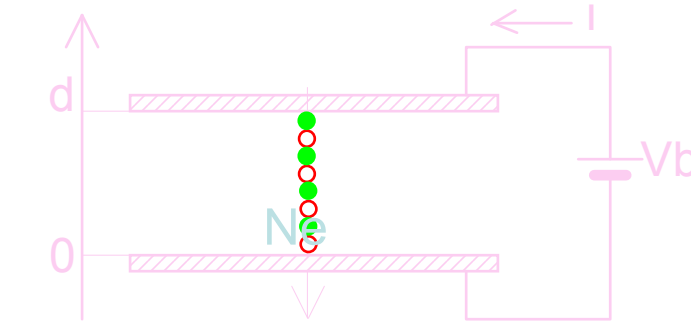
$$\vec{E}_w = -\frac{1}{d} \hat{z}$$

$$i(t) = q \vec{E}_w \cdot \vec{v} = -e(-E_w v) = e \frac{v}{d} = \frac{e}{t_d} \quad 0 \leq t \leq t_d$$



M. Sozzi

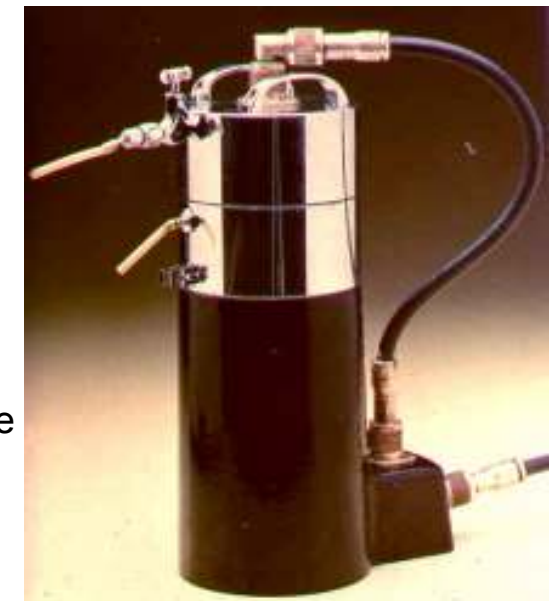
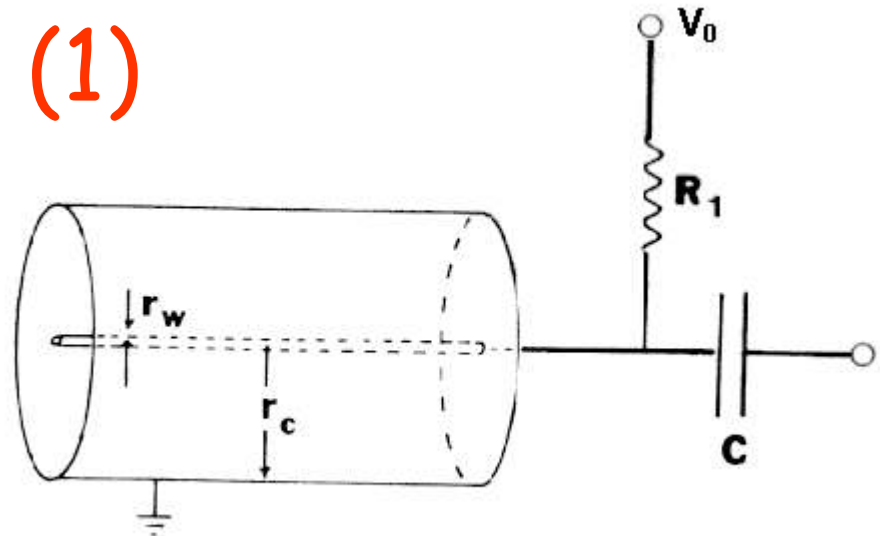
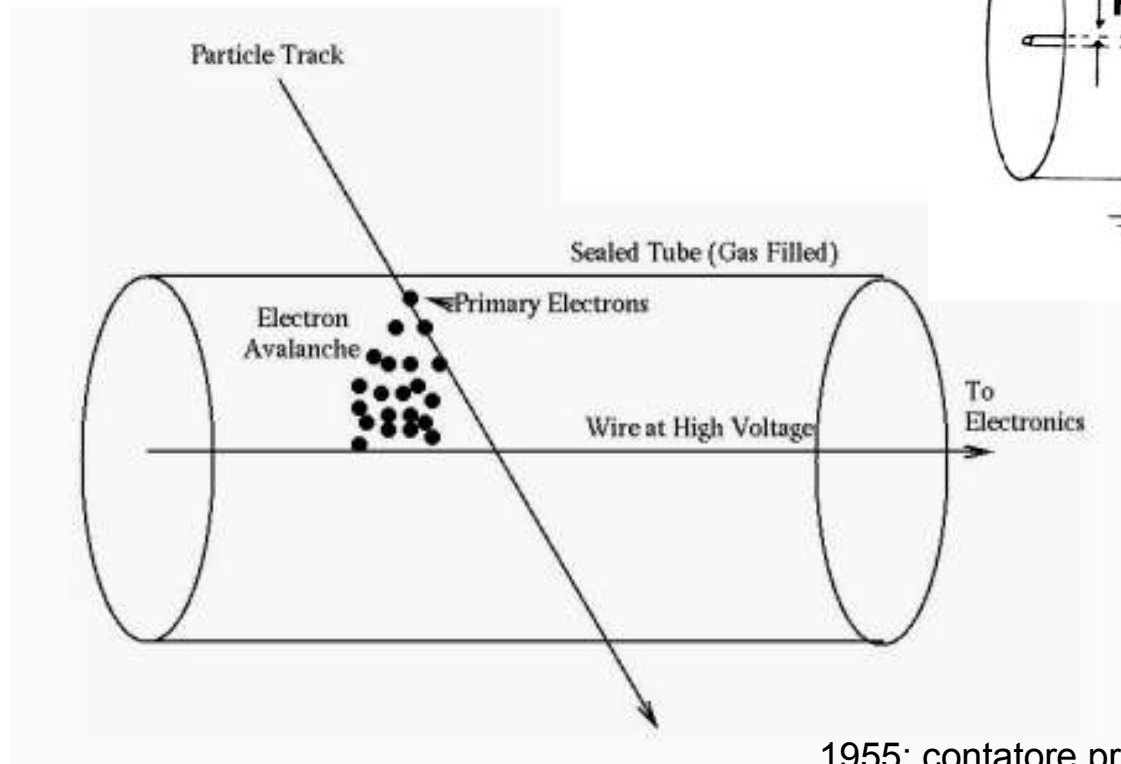
Ionizzazione continua



$$Q_s(t) = \int_0^t i(\tau) d\tau = Ne \left[\frac{t}{t_d} - \frac{1}{2} \left(\frac{t}{t_d} \right)^2 \right]$$

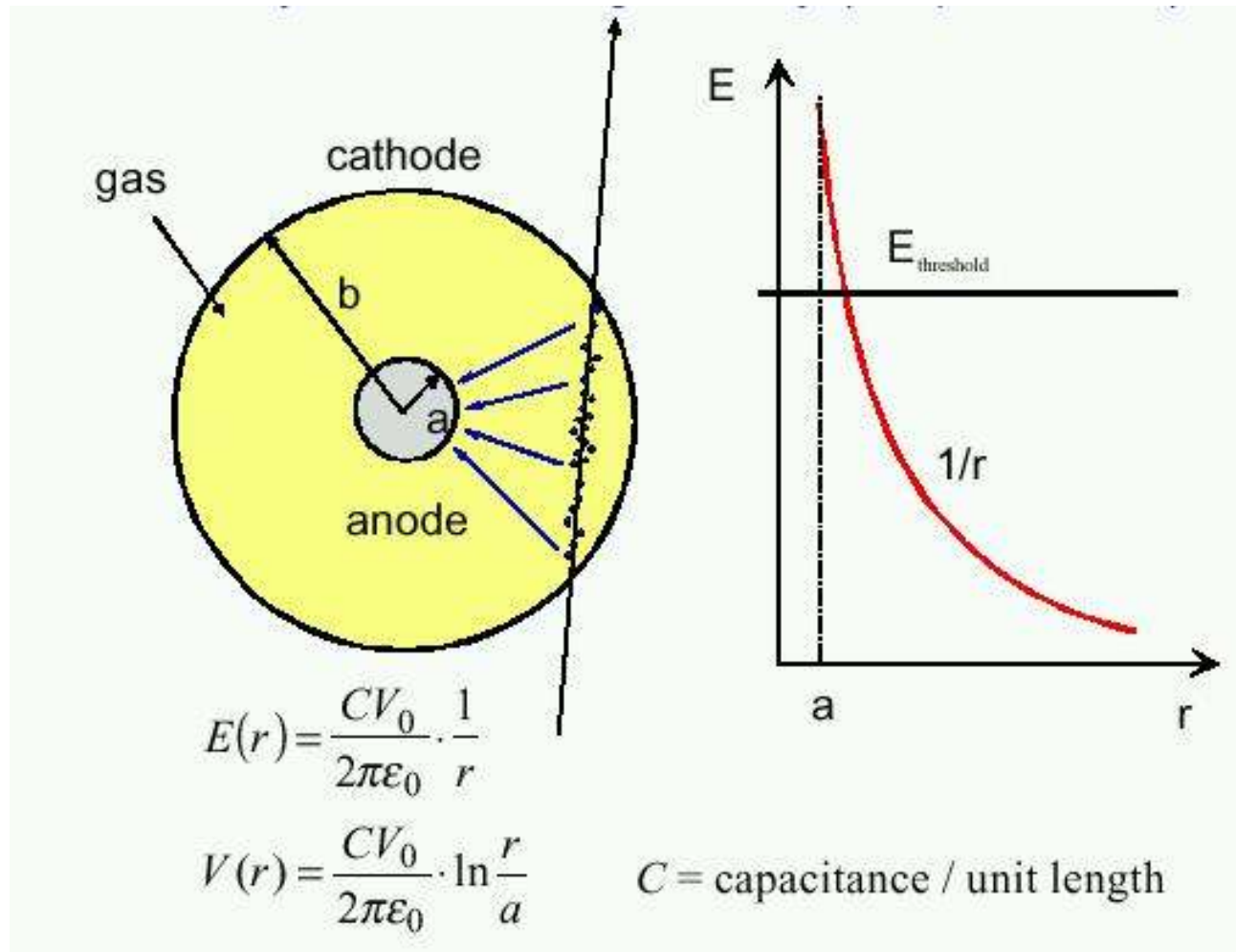
Lab. Fisica Interaz. Fondamentali

Tubi proporzionali (1)

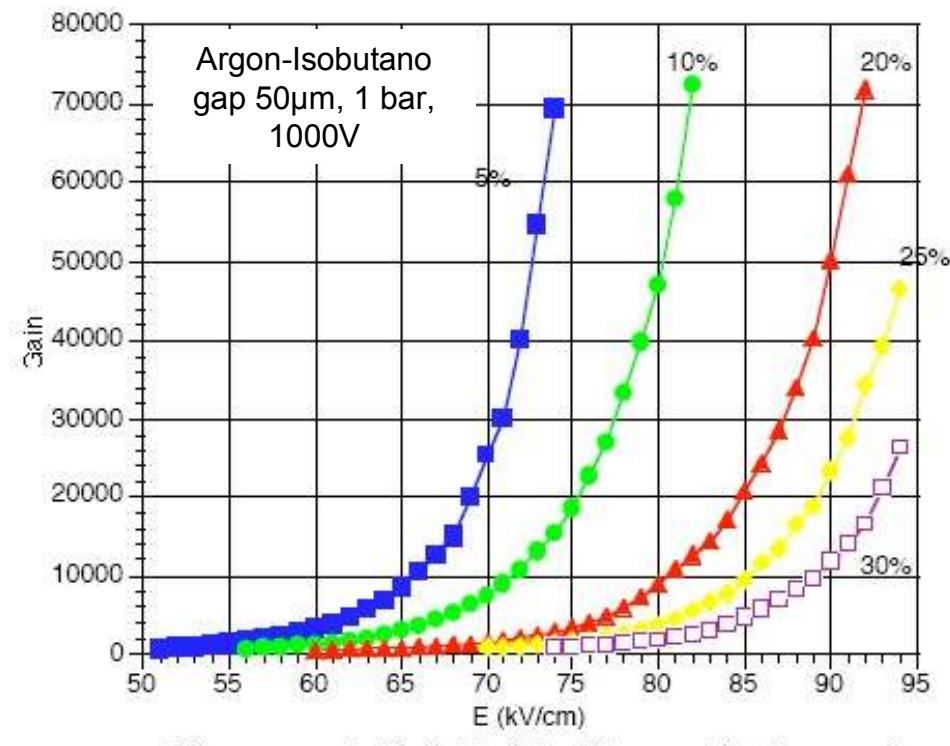
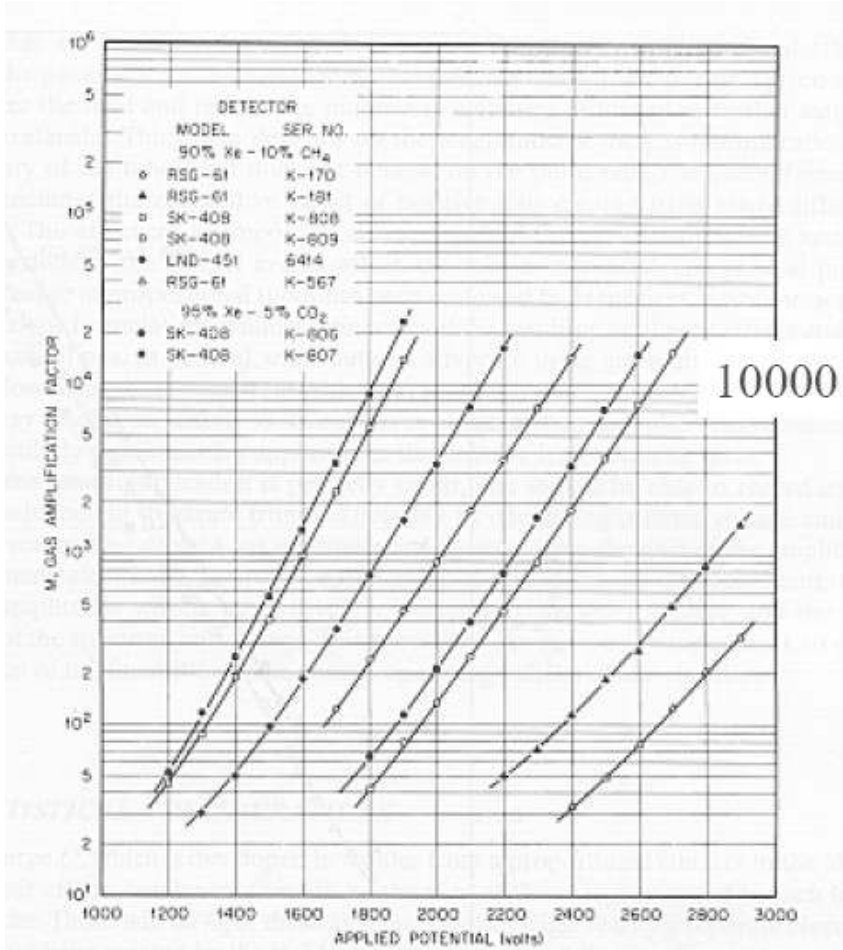


1955: contatore proporzionale
(metano, 3kV), o G-M (elio-isobutano, 1.3kV)

Tubi proporzionali (2)



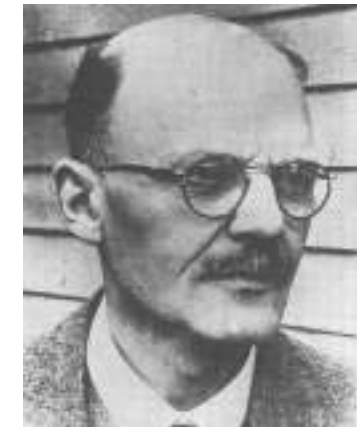
Tubi proporzionali (3)



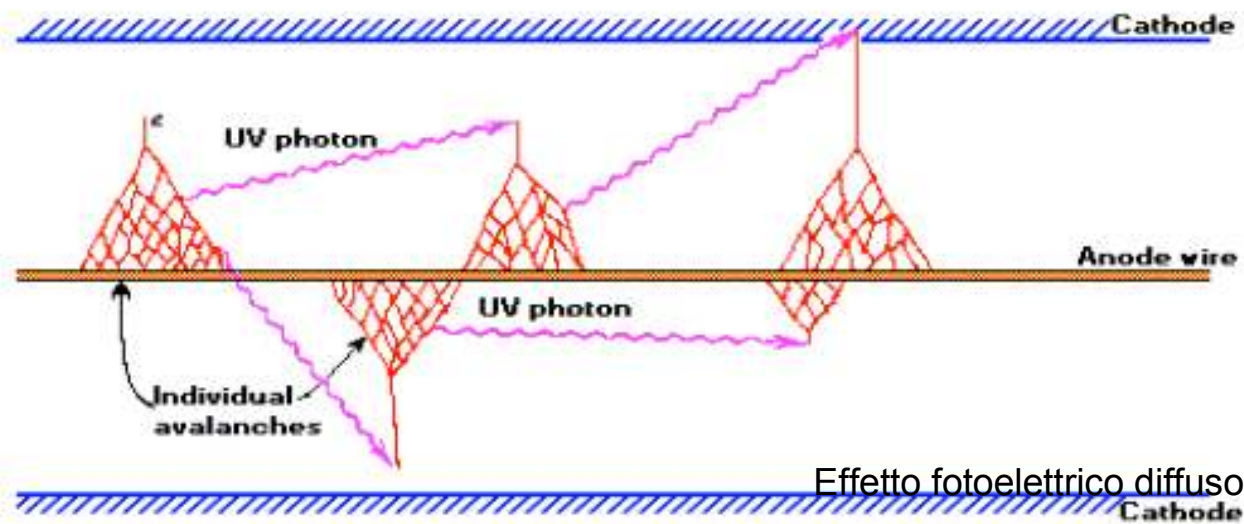
Gain versus electric field of the 50μm amplification gap for several Isobutane/Ar mixtures. Pressure is equal to 1 bar.
Drift electrode voltage = 1000V.

Guadagno del tubo

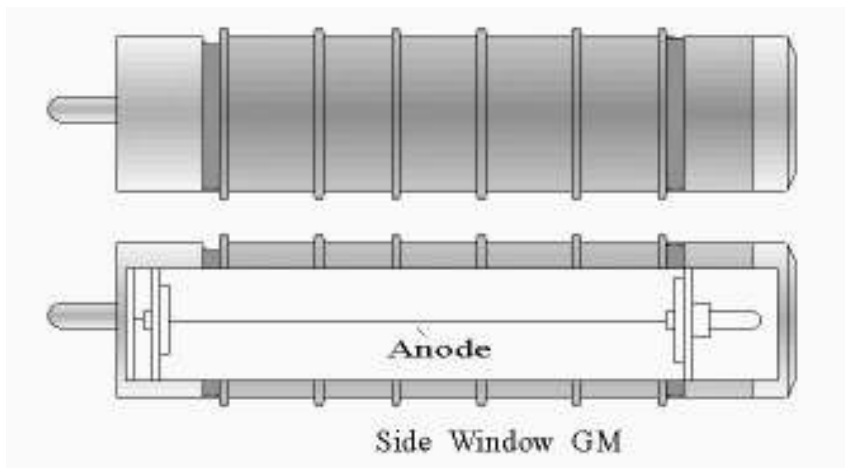
Effetto Geiger-Muller



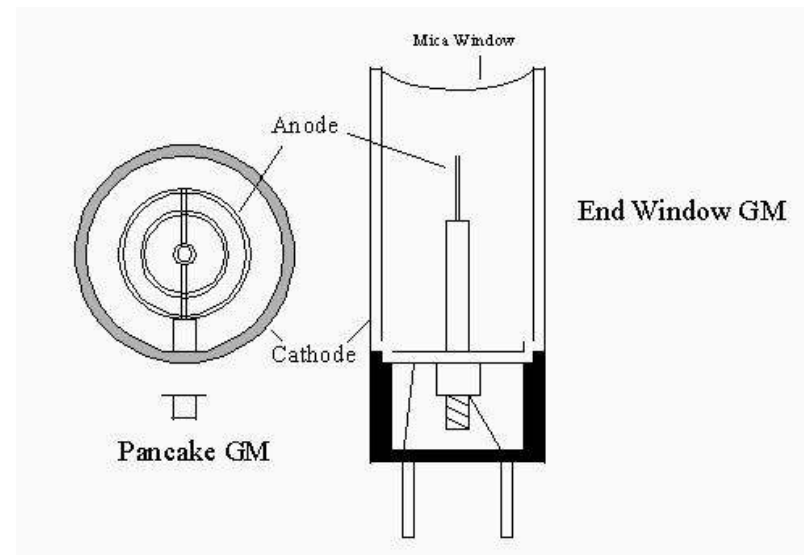
Hans Geiger
(1882-1945)
[e Walther Müller
(1905-1979)]



Contatori Geiger

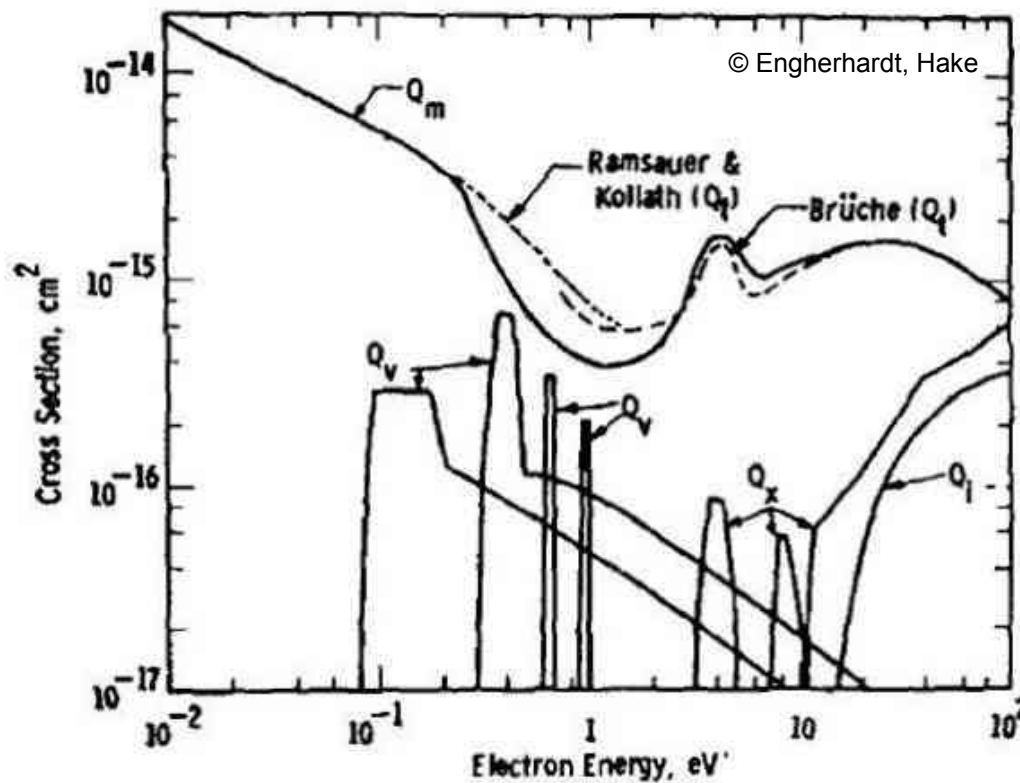


M. Sozzi

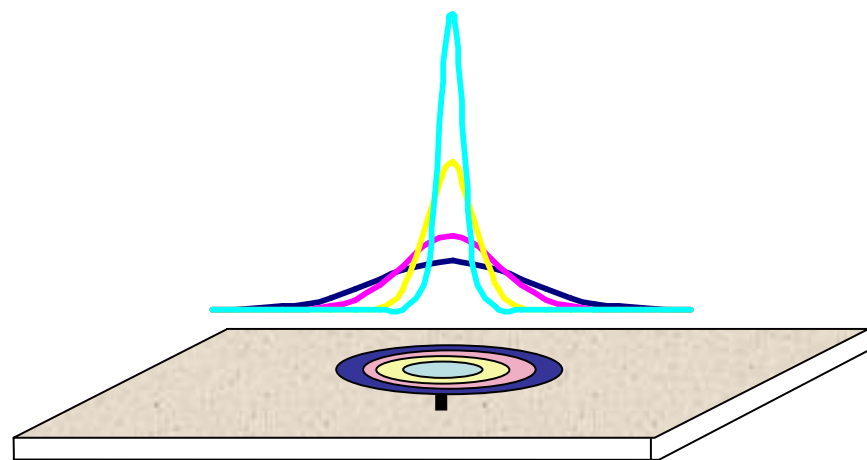
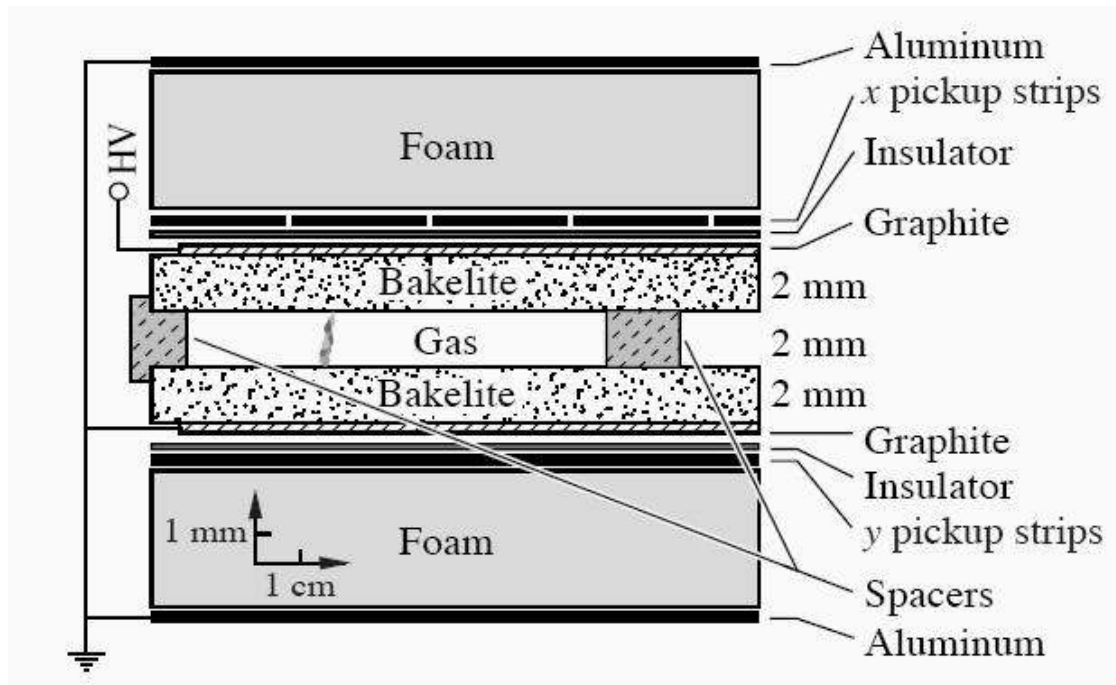


Lab. Fisica Interaz. Fondamentali

Quenching

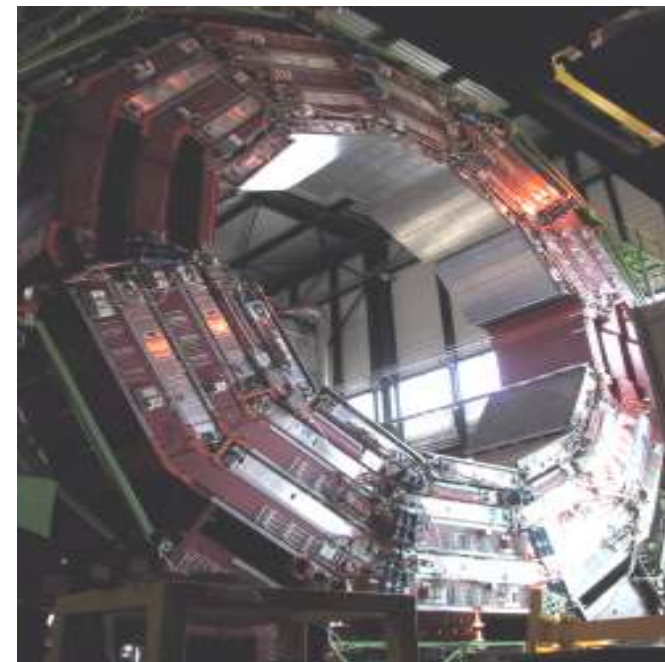


Spettro di eccitazione di CO_2
Qm: trasferimento di impulso, Qv: vibrazione,
Qx: elettroni, Qi: ionizzazione

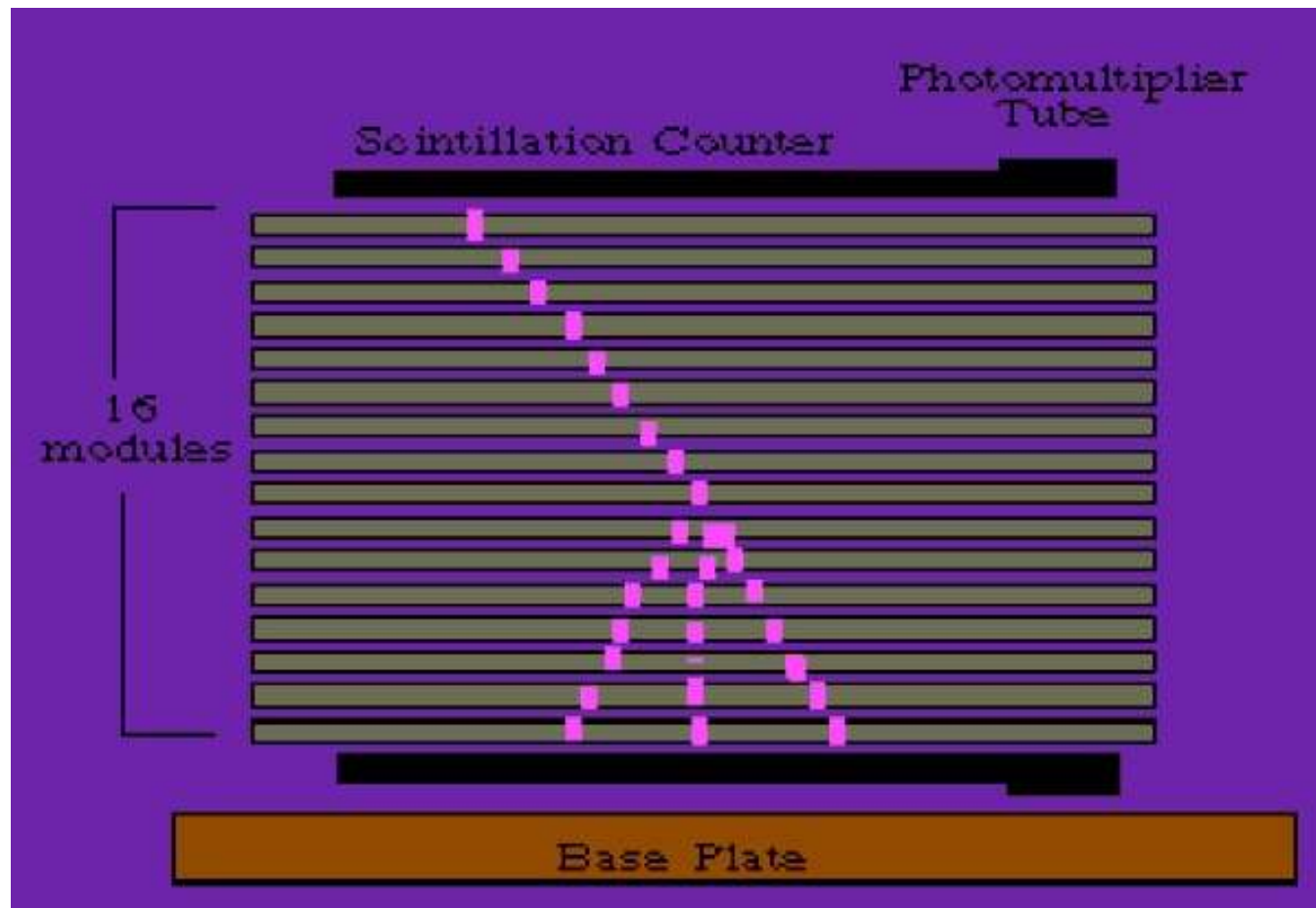


RPC

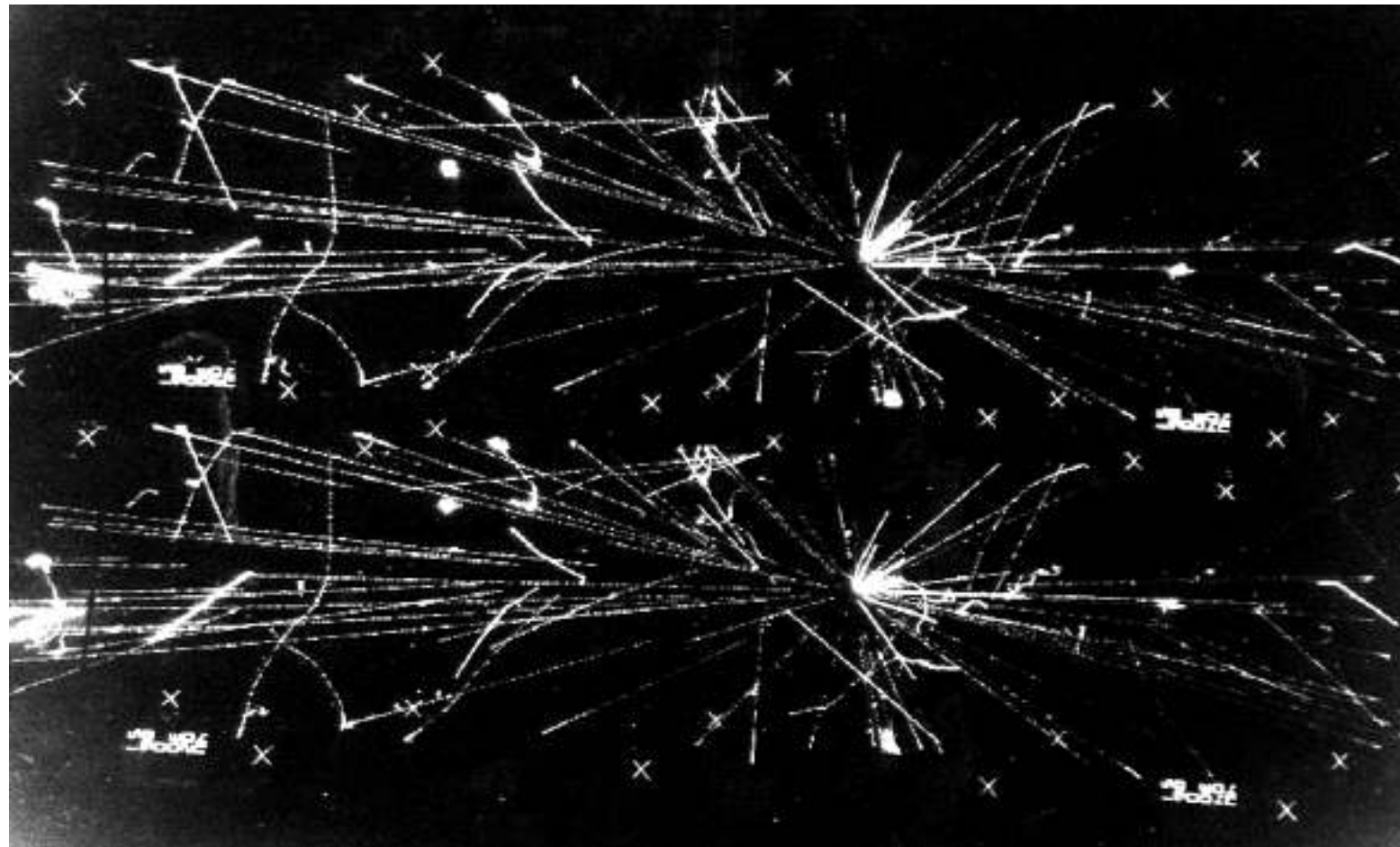
(Resistive Plate Chamber)



Camere a scintilla

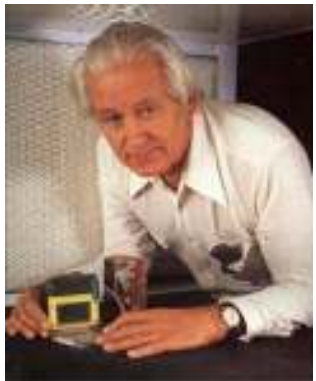


Camere a streamer



HV impulsata

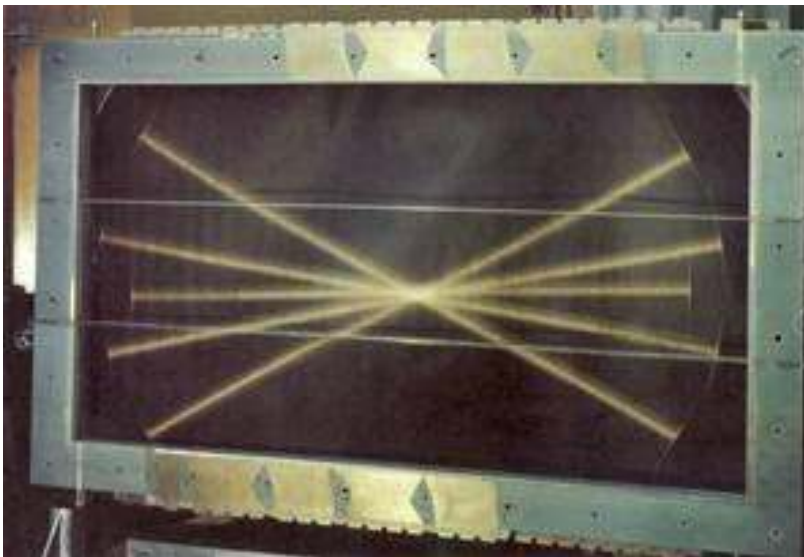
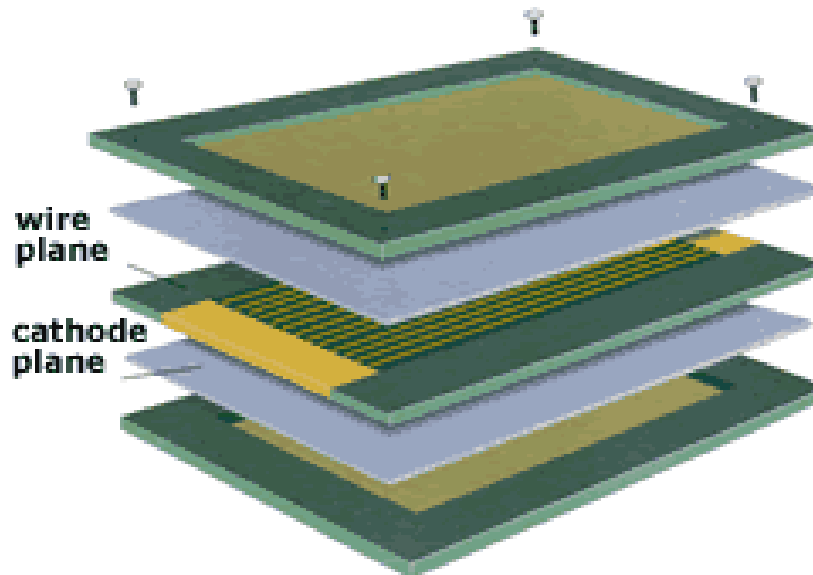
Lab. Fisica Interaz. Fondamentali



Georges Charpak
(1924-)
Nobel 1992

MWPC

(Multi-Wire Proportional Chamber)



M. Sozzi

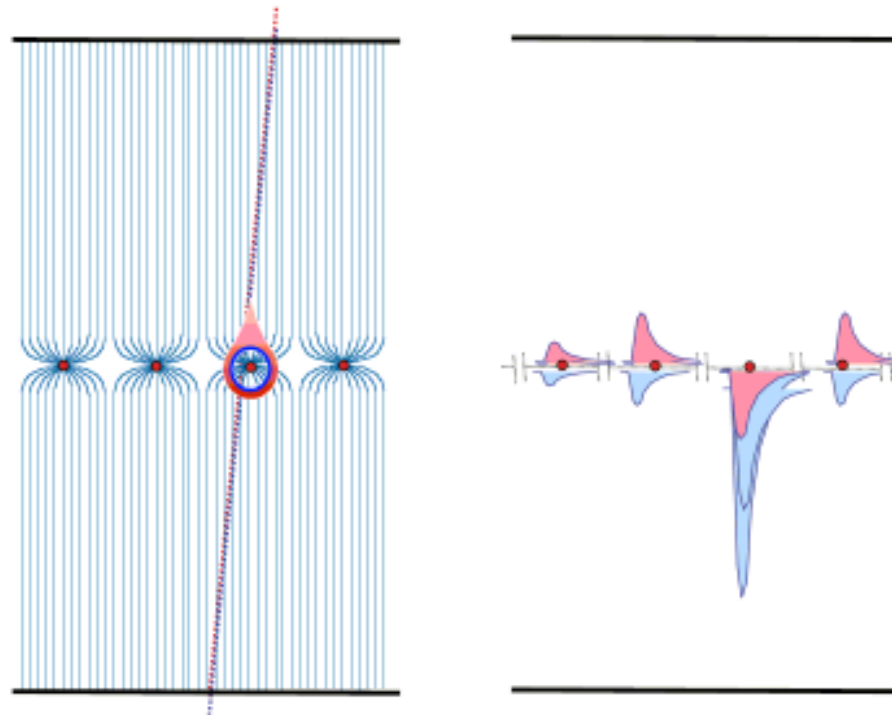
Lab. Fisica Interaz. Fondamentali

MWPC

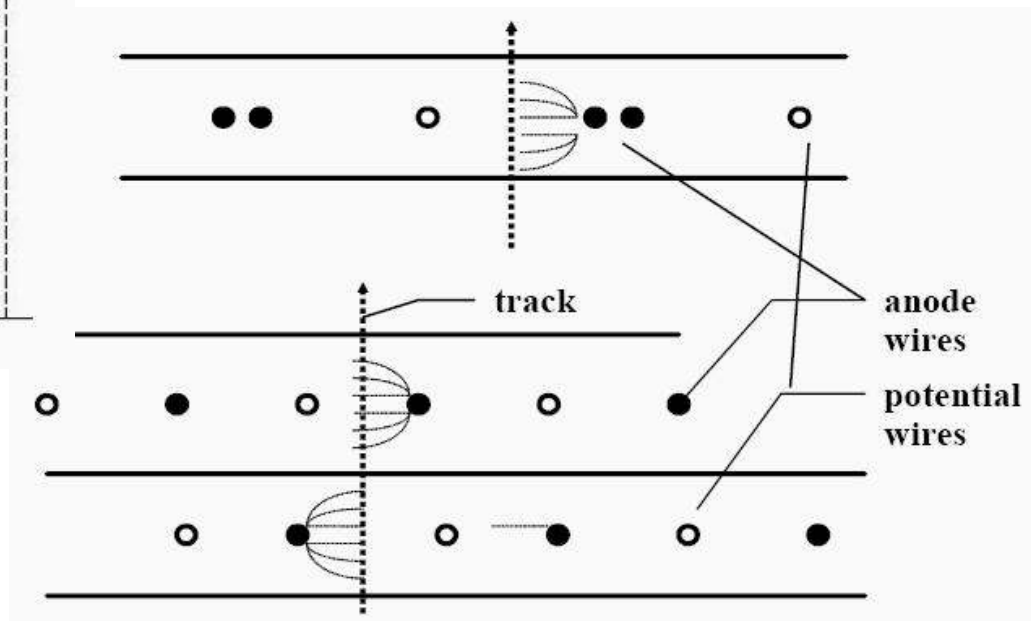
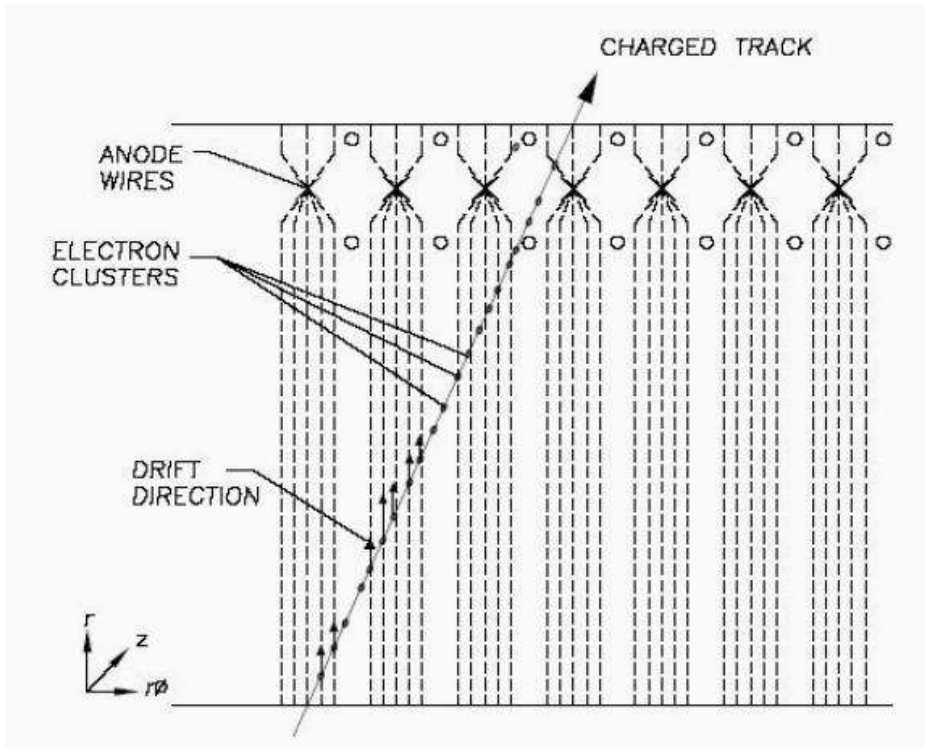
$$V_s(z) \underset{d \rightarrow 0}{\approx} \frac{2\pi l}{s} - \ln \left\{ 4 \sin^2 \left(\frac{\pi x}{s} \right) + 4 \sinh^2 \left(\frac{\pi y}{s} \right) \right\}$$

$$E_0 = \frac{s V_0}{\frac{\pi d}{2} \left[l - \frac{s}{\pi} \ln \frac{\pi d}{s} \right]}$$

l = distanza A-K ~ 5mm, s = spaziatura fili ~ 2-4mm, d = diametro anodi ~ 20μm

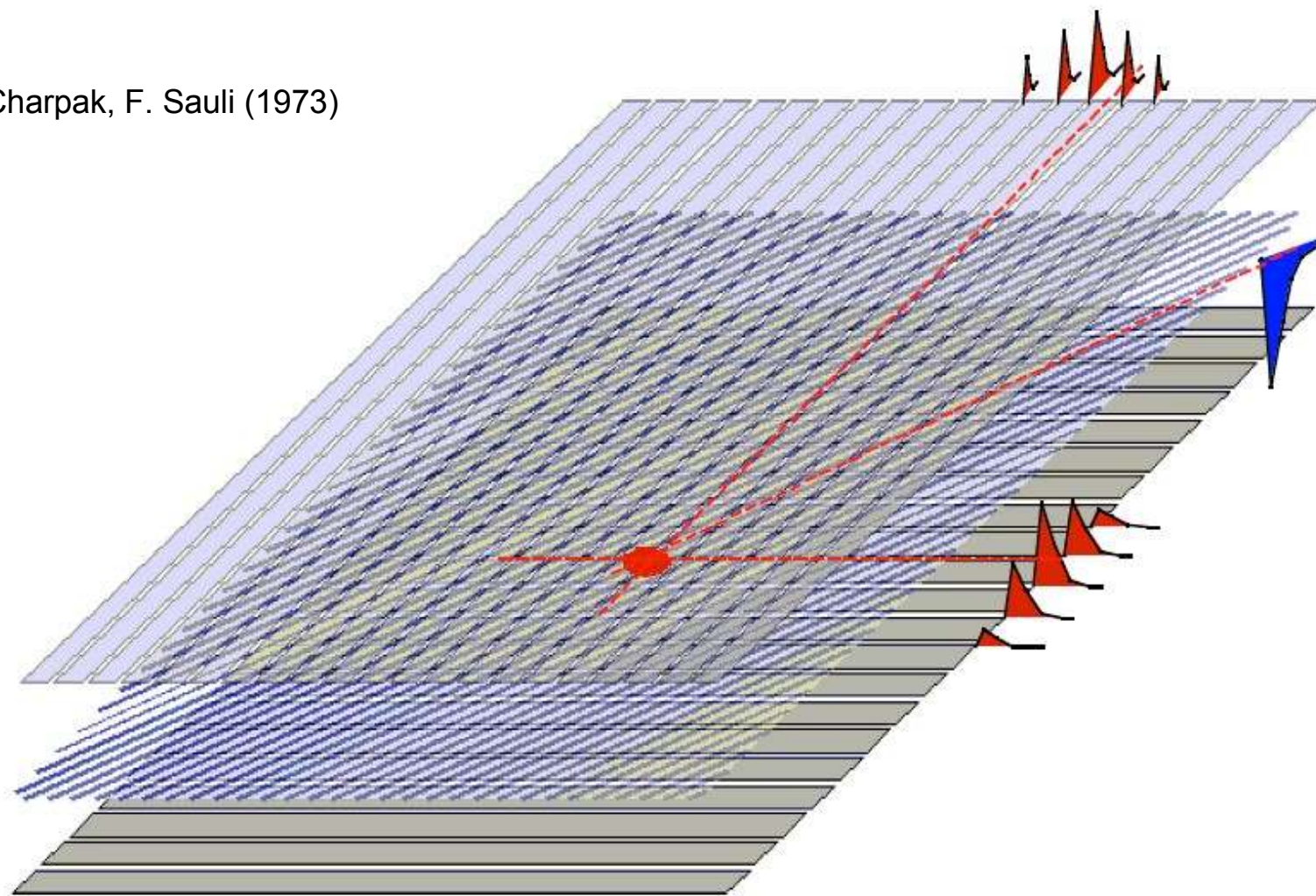


MWPC



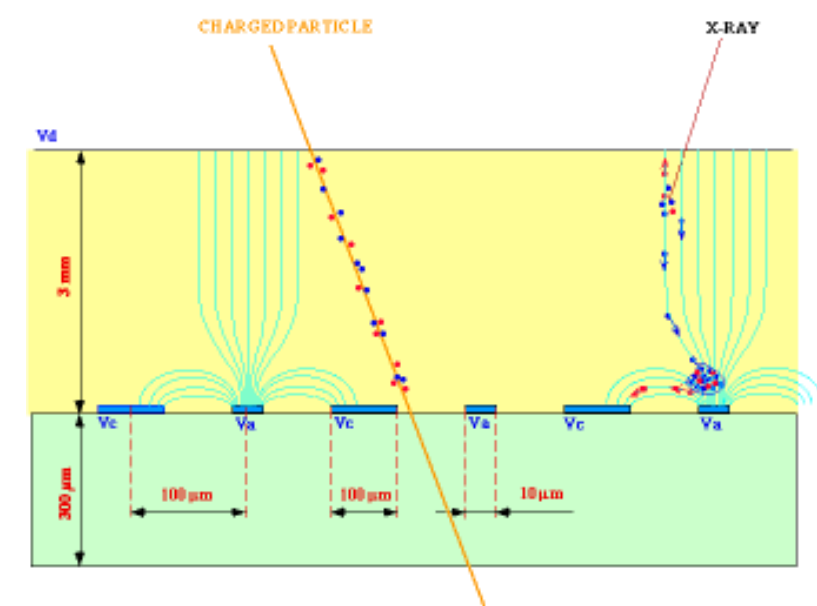
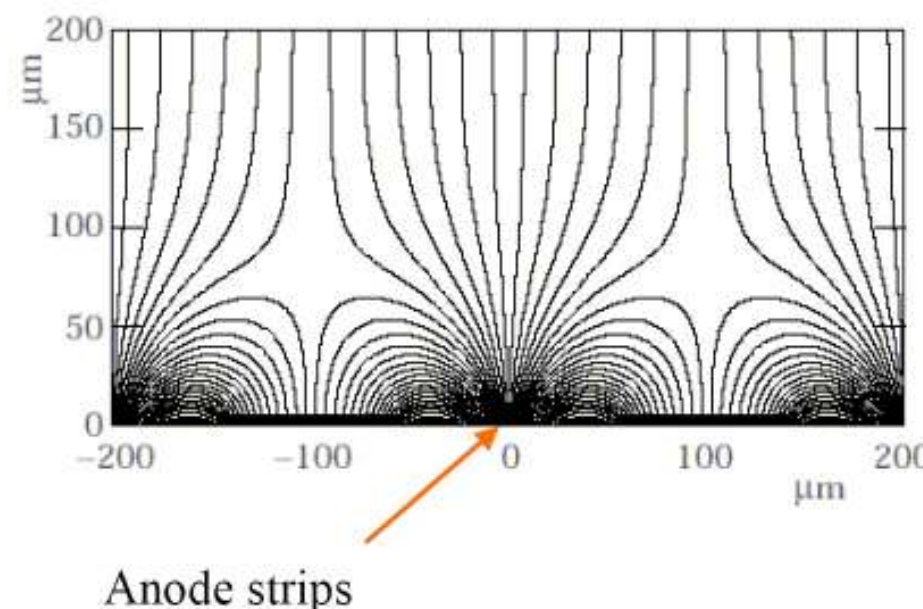
Lettura catodica (2D)

G. Charpak, F. Sauli (1973)

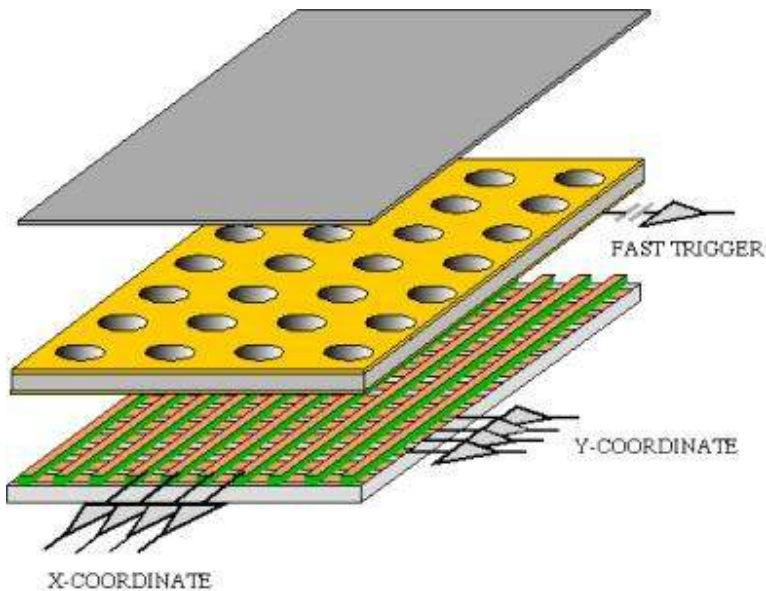


MicroStrip Gas Chamber

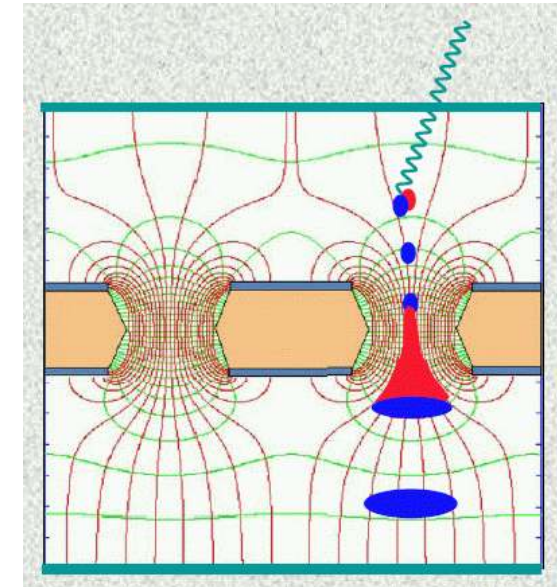
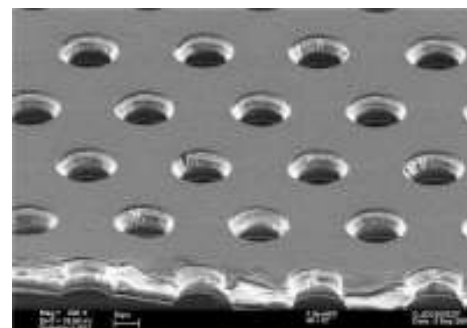
A. Oed (1988)



Gas Electron Multiplier (GEM)

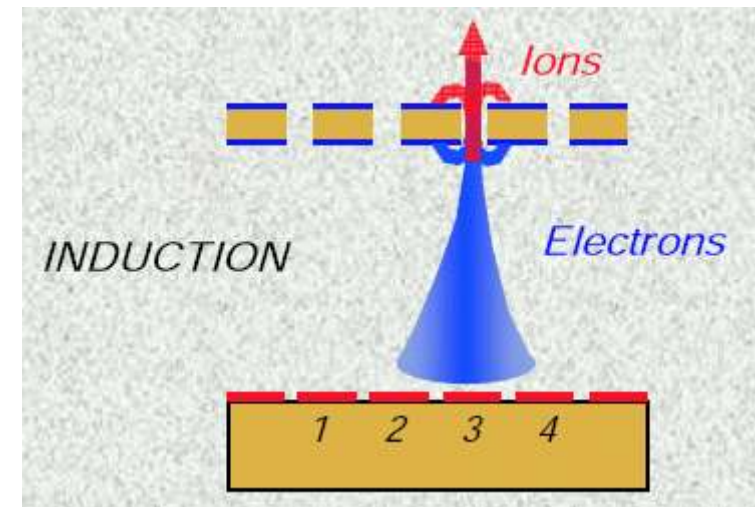


F. Sauli et al.



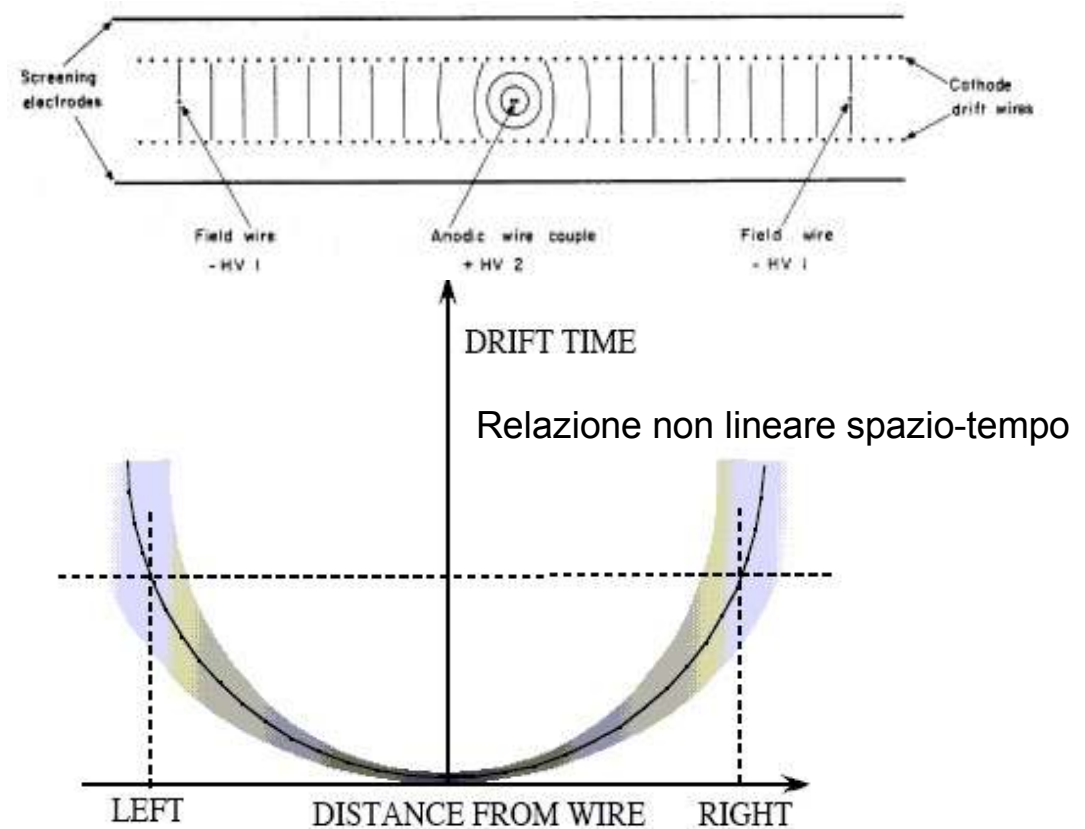
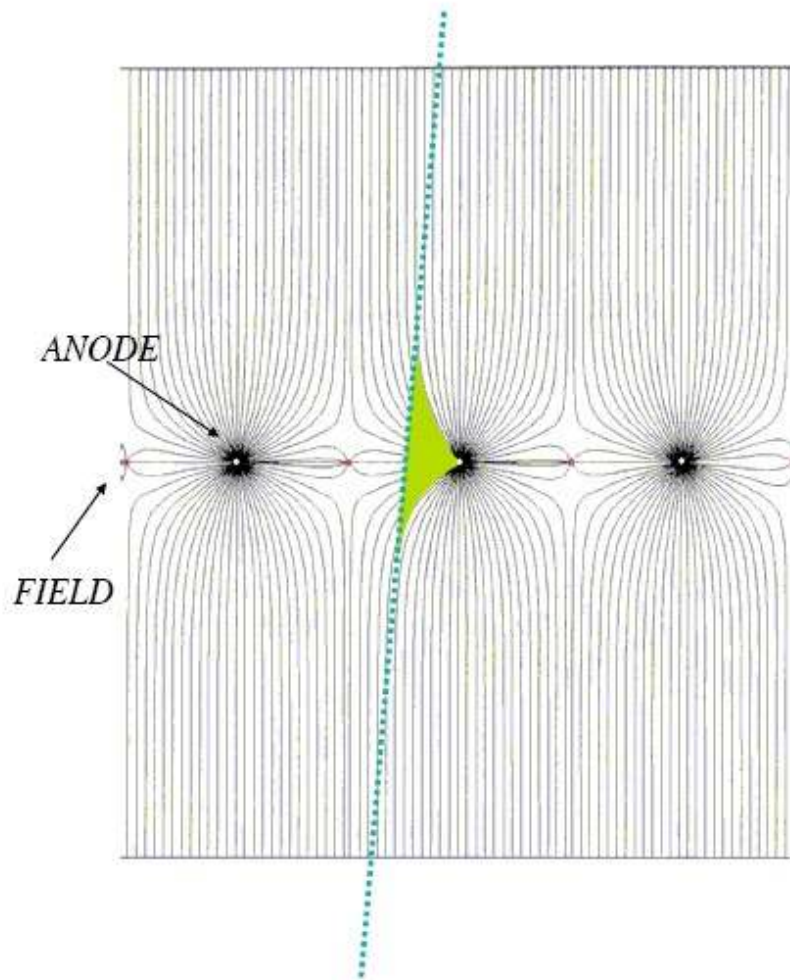
Foglio metallizzato con 5-100 fori/mm²
Diametro 70 µm
Separazione 140 µm
Contatori proporzionali indipendenti
frequenze di conteggio elevate

M. Sozzi

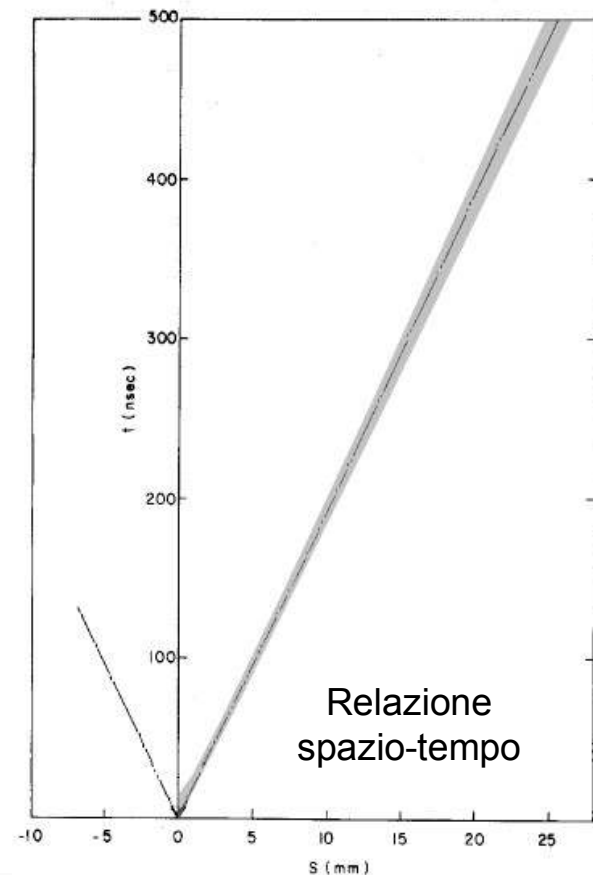
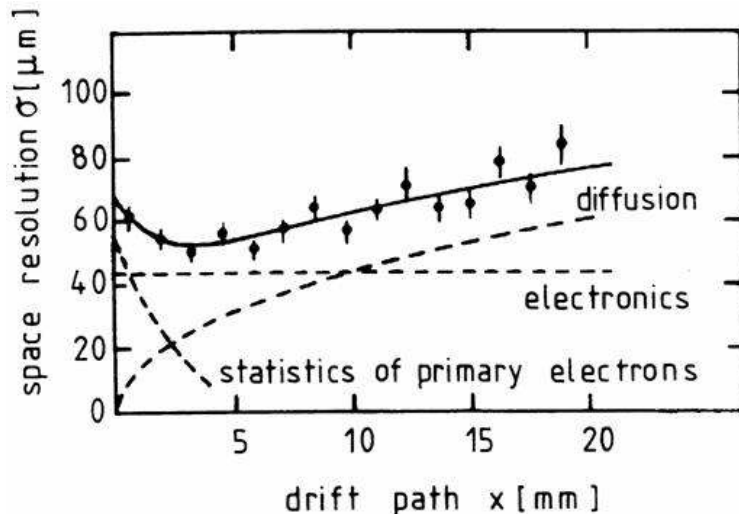


Camere a deriva (1)

Albert H. Walenta (1971)



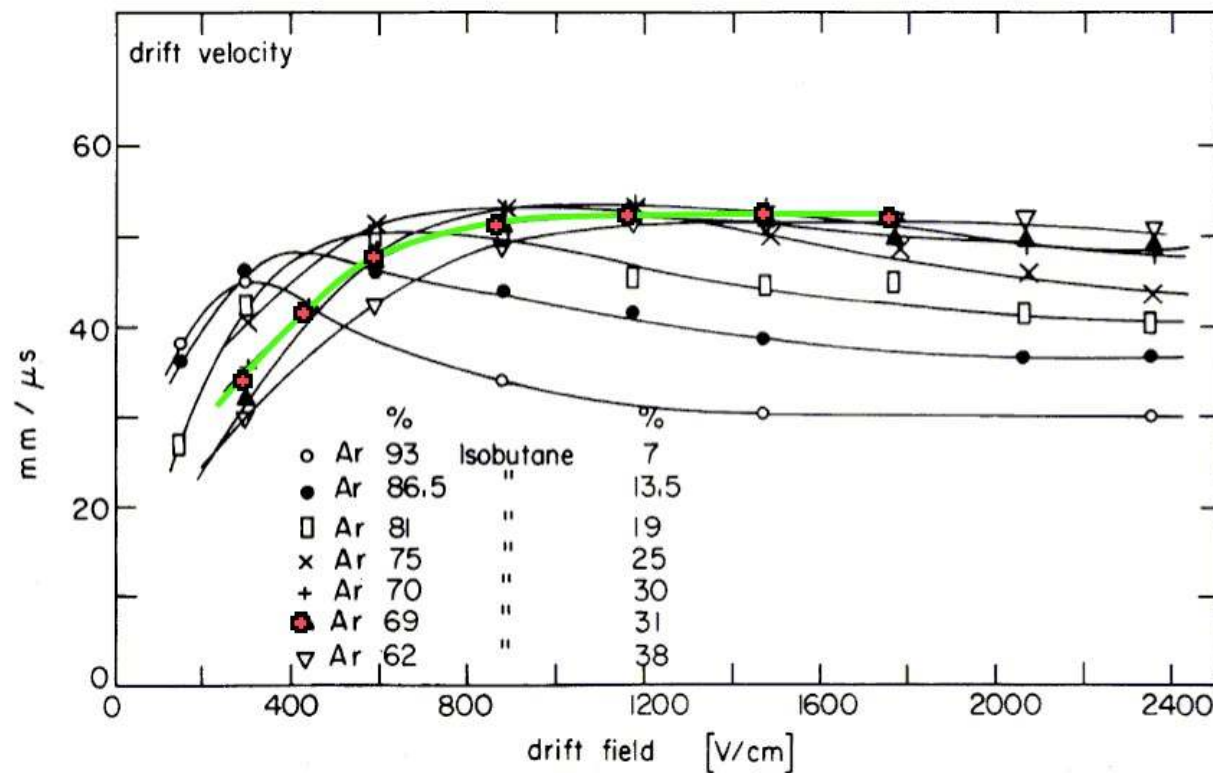
Camere a deriva (2)



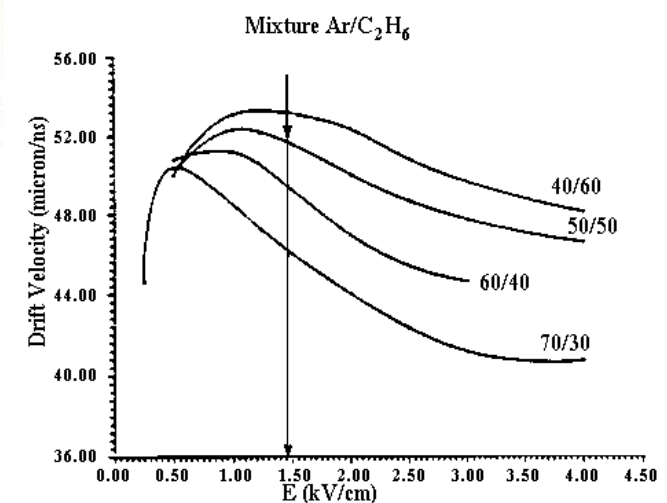
Gas	$\bar{v} / (\text{m s}^{-1})$	l/nm	τ/ps	σ/pm	
at 0 °C and atmospheric pressure					
Argon	380	62.6	165	342	340
Benzene	272	148.2	545	527	—
Carbon dioxide	362	39.0	108	390	407
Carbon monoxide	454	58.6	129	371	376
Chlorine	285	27.4	96	440	—
Chloroform	220	161.0	732	543	—
Ethylene	454	34.3	75	423	452
Helium	1202	173.6	144	258	256
Hydrogen	1694	110.6	65	297	293
Methane	600	48.1	80	380	382
Neon	535	124.0	232	279	275
Nitrogen	454	58.8	130	375	370
Nitrous oxide	362	38.7	107	388	459
Oxygen	425	63.3	149	354	358
Sulphur dioxide	300	27.4	91	429	—

Velocita' di deriva

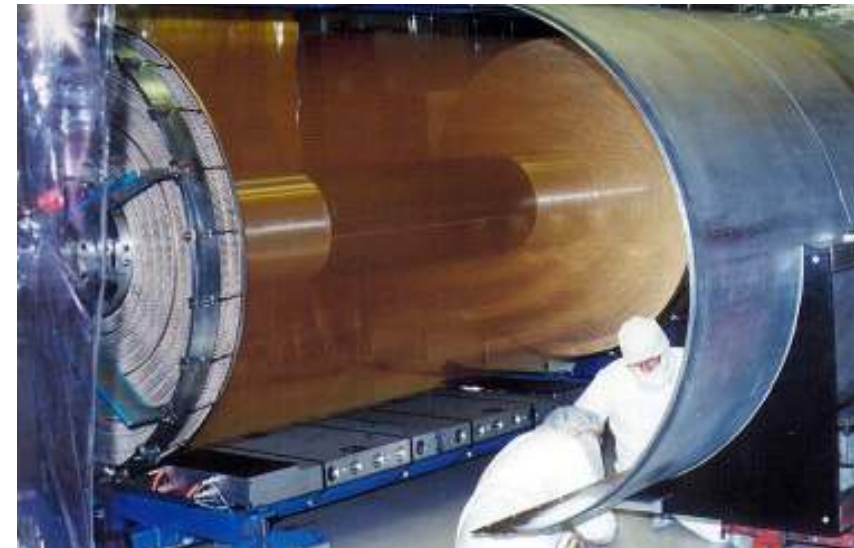
Camere a deriva (3)



Velocita' di deriva: saturazione

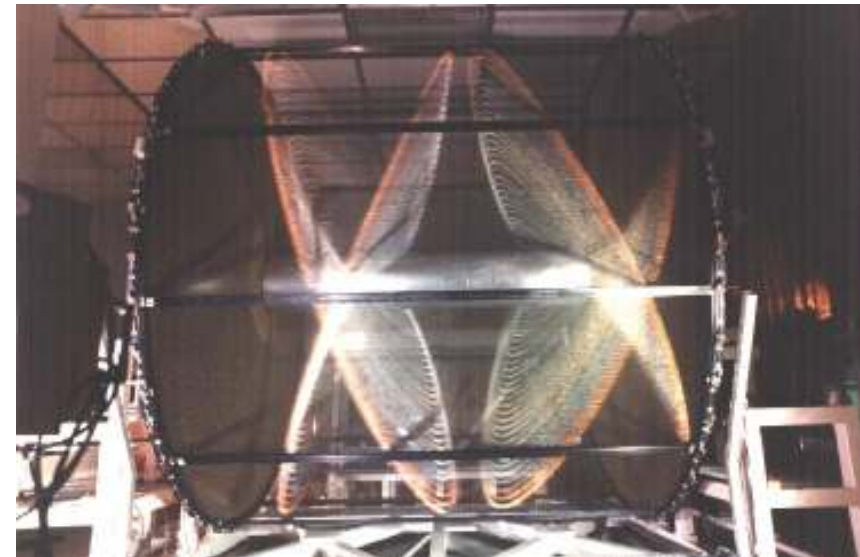
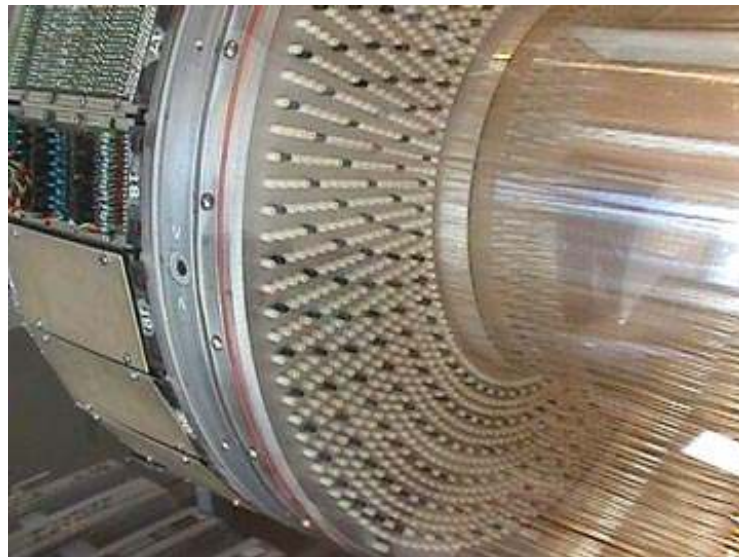


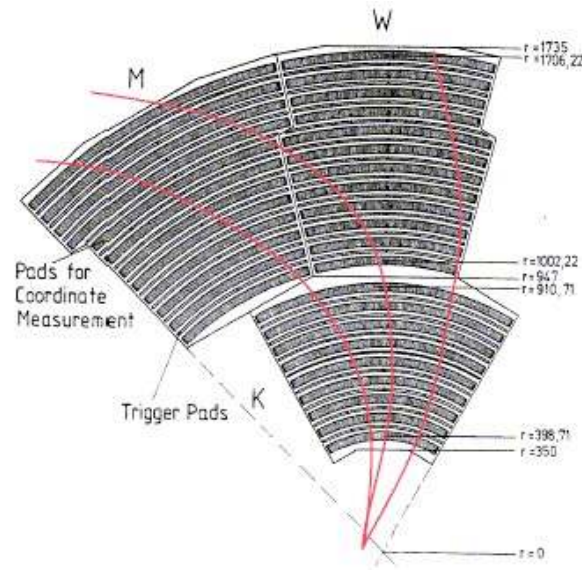
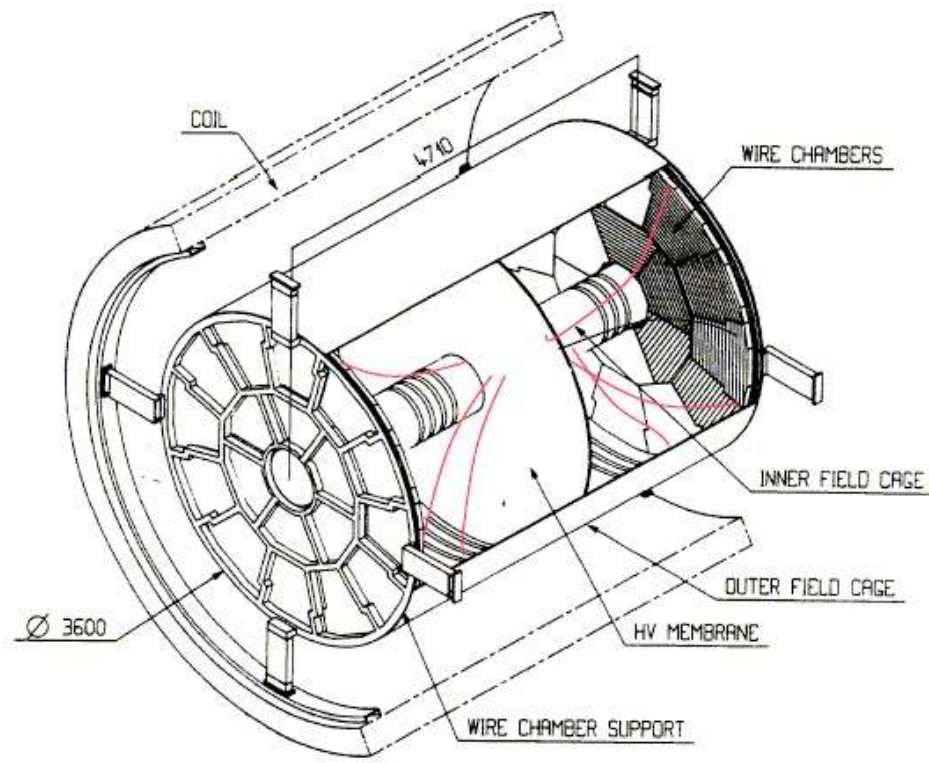
Camere a deriva



Camera a deriva di BaBar (SLAC)

Camera a deriva di KLOE (Frascati)

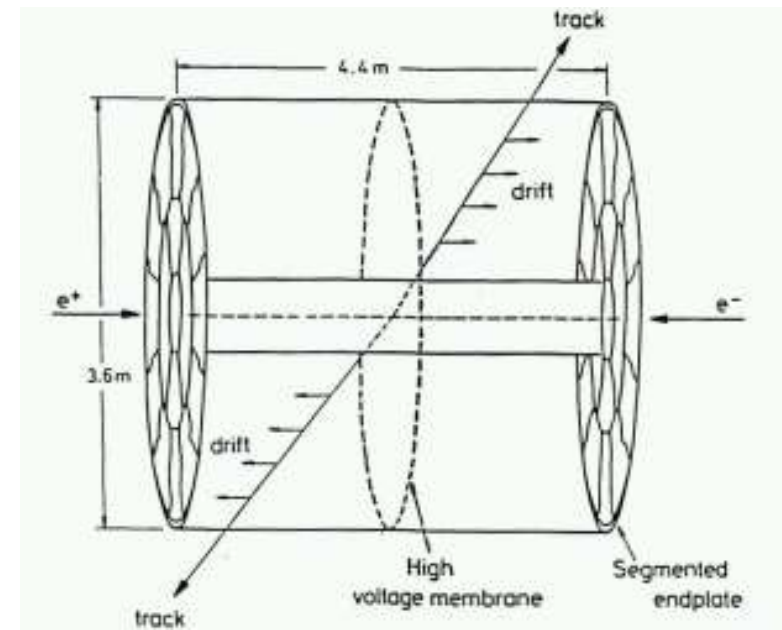


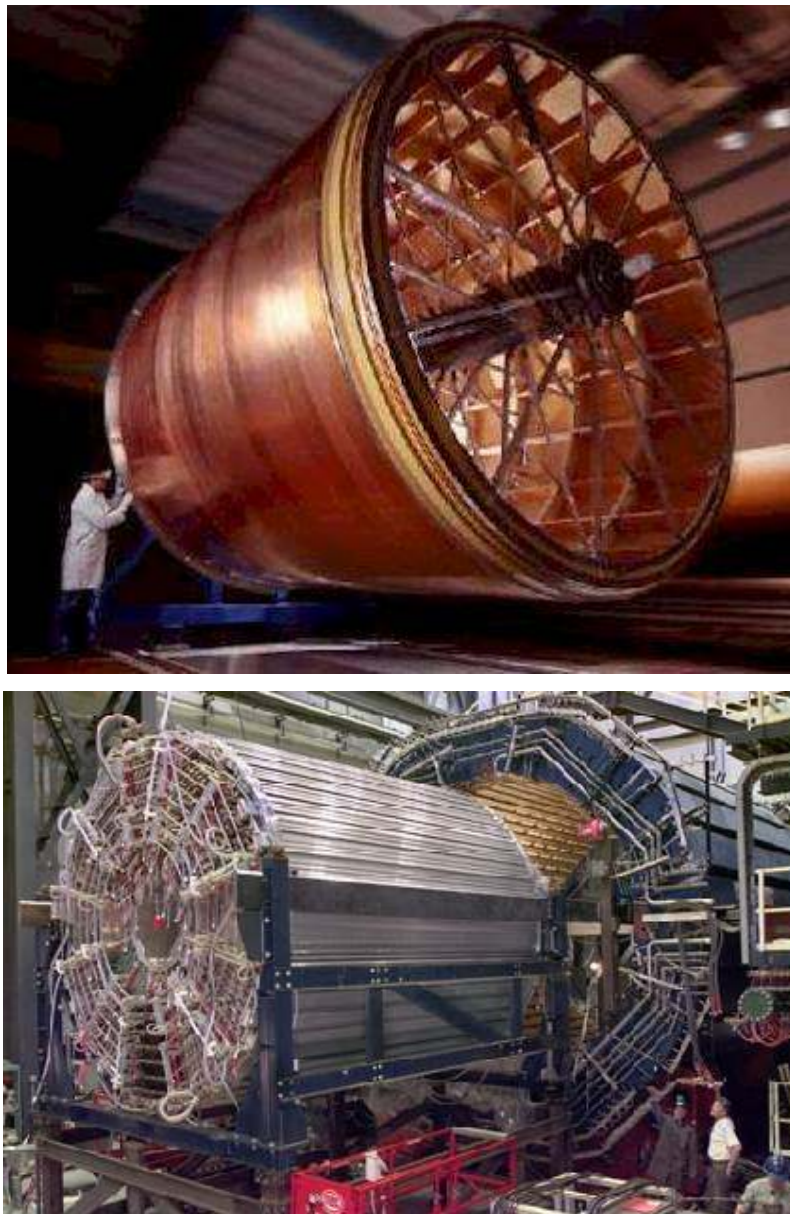


Time Projection Chamber

D. Nygren (1976)

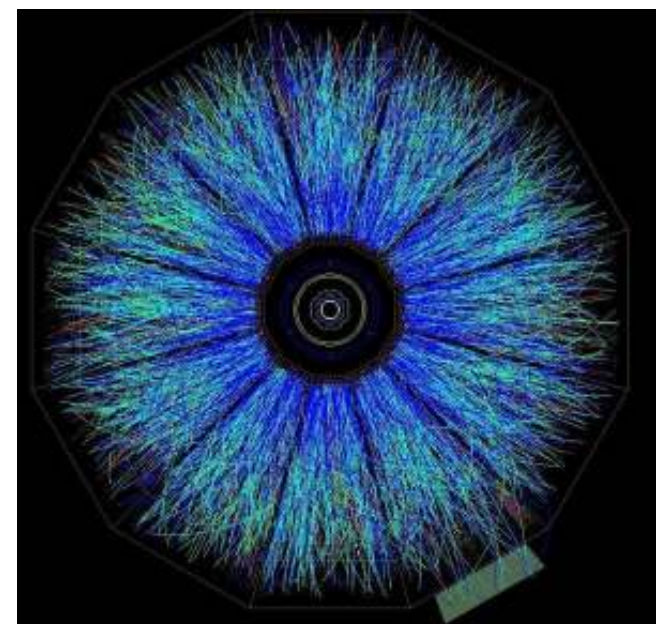
M. Sozzi





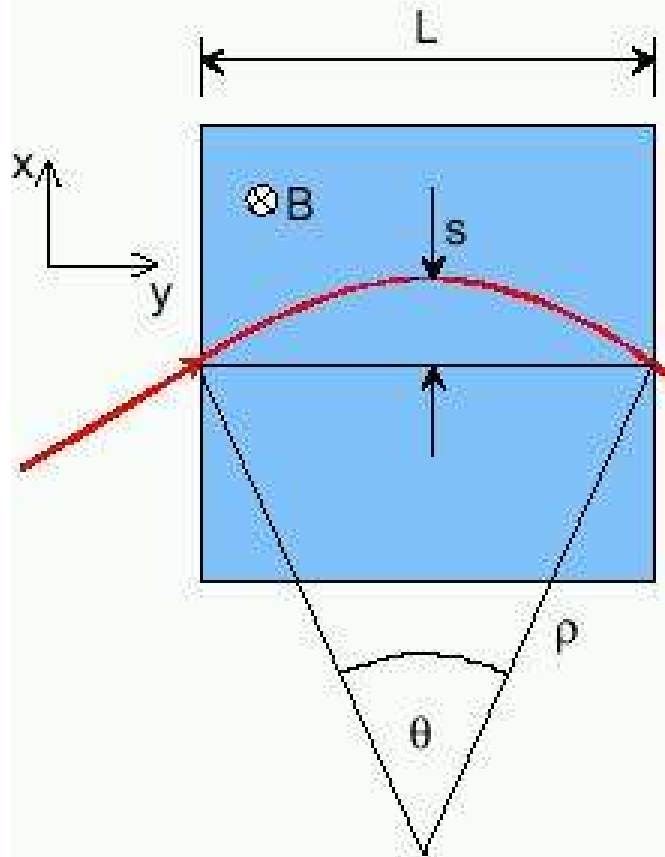
TPC (STAR)

Brookhaven National Laboratory (USA)
Diametro e lunghezza 4m ca.
138000 pad lette da digitizzatori per la
misura di dE/dx e la tracciatura.
70M elementi di volume a 10 bit



Au+Au (100 GeV+100 GeV)

Spettrometri magnetici



$$p_T = qB\rho$$

$$p_T \text{ (GeV/c)} = 0.3B\rho \quad (\text{T} \cdot \text{m})$$

$$\frac{L}{2\rho} = \sin\theta/2 \approx \theta/2 \quad \rightarrow \quad \theta \approx \frac{0.3L \cdot B}{p_T}$$

$$\Delta p_T = p_T \sin\theta \approx 0.3L \cdot B$$

$$s = \rho(1 - \cos\theta/2) \approx \rho \frac{\theta^2}{8} \approx \frac{0.3}{8} \frac{L^2 B}{p_T}$$

Spettrometri magnetici: errore

